



TUGAS AKHIR TF 141581

# PERANCANGAN *ACTIVE FAULT TOLERANT CONTROL (AFTC)* PADA SISTEM PENGENDALIAN TEMPERATUR *SUPERHEATER* PLTU PT PJB GRESIK DENGAN KESALAHAN SENSOR

Achmad Rizky Karuniawan  
NRP 02311440000121

Dosen Pembimbing

Dr. Bambang L. Widjiantoro, ST, MT.

DEPARTEMEN TEKNIK FISIKA  
Fakultas Teknologi Industri  
Institut Teknologi Sepuluh Nopember  
Surabaya 2018

*Halaman ini sengaja dikosongkan*



**FINAL PROJECT TF 141581**

**DESIGN ACTIVE FAULT TOLERANT CONTROL  
(AFTC) AT SUPERHEATER TEMPERATURE  
CONTROL SYSTEM PT PJB GRESIK POWER  
PLANT WITH SENSOR FAULT**

*Achmad Rizky Karuniawan  
NRP 02311440000121*

*Supervisor  
Dr. Bambang L. Widjiantoro, ST, MT.*

**ENGINEERING PHYSICS DEPARTMENT  
Faculty of Industrial Technology  
Sepuluh Nopember Institute of Technology  
Surabaya 2018**

*Halaman ini sengaja dikosongkan*

## **PERNYATAAN BEBAS PLAGIASI**

Saya yang bertanda tangan di bawah ini:

Nama : Achmad Rizky Karuniawan

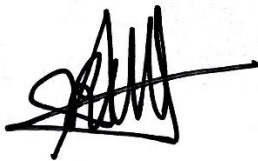
NRP : 0231440000121

Departemen : Teknik Fisika FTI-ITS

dengan ini menyatakan bahwa tugas akhir saya yang berjudul **“PERANCANGAN ACTIVE FAULT TOLERANT CONTROL (AFTC) PADA SISTEM PENGENDALIAN TEMPERATUR SUPERHEATER PLTU PT PJB GRESIK DENGAN KESALAHAN SENSOR”** adalah bebas plagiasi. Apabila pernyataan ini terbukti tidak benar, maka saya bersedia menerima sanksi sesuai ketentuan yang berlaku.

Demikian surat pernyataan ini saya buat dengan sebenar-benarnya.

Surabaya, 23 Juli 2018  
Yang membuat pernyataan,



Achmad Rizky Karuniawan

*Halaman ini sengaja dikosongkan*

## LEMBAR PENGESAHAN

### PERANCANGAN ACTIVE FAULT TOLERANT CONTROL (AFTC) PADA SISTEM PENGENDALIAN TEMPERATUR SUPERHEATER PLTU PT PJB GRESIK DENGAN KESALAHAN SENSOR

Oleh:

Achmad Rizky Karuniawan  
NRP. 02311440000121

Surabaya, 23 Juli 2018  
Mengetahui/Menyetujui

Pembimbing

  
Dr. Bambang L. Widjiantoro, S.T, M.T.  
NIP. 19690507 199512 1 001



*Halaman ini sengaja dikosongkan*

## **LEMBAR PENGESAHAN**

### **PERANCANGAN ACTIVE FAULT TOLERANT CONTROL (AFTC) PADA SISTEM PENGENDALIAN TEMPERATUR SUPERHEATER PLTU PT PJB GRESIK DENGAN KESALAHAN SENSOR**

#### **TUGAS AKHIR**

Diajukan Untuk Memenuhi Salah Satu Syarat  
Memperoleh Gelar Sarjana Teknik  
Pada

Bidang Studi Rekayasa Instrumentasi dan Kontrol  
Program Studi S-1 Departemen Teknik Fisika  
Fakultas Teknologi Industri  
Institut Teknologi Sepuluh Nopember

Oleh:

**Achmad Rizky Karuniawan**  
**NRP. 0231144000121**

Disetujui oleh Tim Penguji Tugas Akhir:

1. Dr. Bambang Lelono W., ST, MT.  Pembimbing
2. Ir. Ya'umar, MT.  Ketua Penguji
3. Dr. Katherin Indriawati, ST, MT.  Penguji I
4. Ir. Zulkifli, MSc.  Penguji II

**SURABAYA**  
**2018**

*Halaman ini sengaja dikosongkan*

**PERANCANGAN ACTIVE FAULT TOLERANT CONTROL  
(AFTC) PADA SISTEM PENGENDALIAN TEMPERATUR  
SUPERHEATER PLTU PT PJB GRESIK DENGAN  
KESALAHAN SENSOR**

**Nama Mahasiswa : Achmad Rizky Karuniawan**  
**NRP : 02311440000121**  
**Departemen : Teknik Fisika**  
**Dosen Pembimbing : Dr. Bambang L. Widjiantoro, ST, MT.**

**Abstrak**

*Superheater* berfungsi mengubah uap jenuh menjadi uap kering dengan proses pemanasan. Pada *superheater* terdapat suatu sistem pengendalian temperatur untuk menjaga temperatur *output finally superheater* agar sesuai dengan *setpoint* yaitu dengan cara memanipulasi variabel laju aliran *water spray* agar dapat menurunkan temperatur *output finally superheater*. Tak jarang pada sistem pengendalian temperatur terjadi kesalahan pada sensor sehingga kontroler akan mengirim sinyal yang salah kepada *control valve*. Pada Tugas Akhir ini dilakukan perancangan *Active Fault Tolerant Control* (AFTC) yang mampu bekerja ketika terdapat kesalahan pada sensor dan dapat mempertahankan performansi sistem. Langkah awal yang dilakukan adalah pemodelan dari proses yang terjadi pada *finally superheater*. Langkah kedua adalah merancang sistem kontrol PID. Langkah terakhir adalah merancang sistem AFTC dimana terdapat dua tahap yaitu perancangan *observer* dan rekonfigurasi kontrol. Uji performansi yang diberikan berupa kesalahan sensitivitas dan kesalahan bias. Pada sistem AFTC dengan kesalahan sensitivitas 8% didapatkan nilai *maximum overshoot* 4,0583%, *settling time* 75 detik dan *error steady state* 0,0019%. Sedangkan sistem tanpa AFTC didapatkan nilai *maximum overshoot* 9,5796%, *settling time* 13 detik dan *error steady state* 8,6944%.

**Kata kunci:** *active fault tolerant control, finally superheater, kontrol PID, sensor.*

*Halaman ini sengaja dikosongkan*

***DESIGN ACTIVE FAULT TOLERANT CONTROL (AFTC)  
AT SUPERHEATER TEMPERATURE CONTROL SYSTEM  
PT PJB GRESIK POWER PLANT WITH SENSOR FAULT***

*Name : Achmad Rizky Karuniawan  
Student Number : 02311440000121  
Department : Engineering Physics  
Supervisor : Dr. Bambang L. Widjiantoro, ST, MT.*

***Abstract***

*Superheater works to change saturated steam into superheated steam with heating process. In the superheater there is a temperature control system to keep the temperature of the finally superheater output stay at setpoint by manipulating variable water flow rate of the spray in order to decrease the temperature of the finally superheater output. Not infrequently the temperature control system occurs on the sensor error so that the controller will send the wrong signal to the control valve. In this Final Project is designed Active Fault Tolerant Control (AFTC) which is able to work when there is a mistake on the sensor and still can keep the system performance. The first step is the modeling of the processes in the finally superheater. The second step is to design a PID control system. The final step is to design an AFTC system where there are two stages of designing the observer and reconfiguration control. Performance tests are given in the form of error sensitivity and error of bias. AFTC system with 8% sensitivity error obtained maximum overshoot 4.0583%, settling time 75 seconds, and error steady state 0.0019%. While the system without AFTC obtained maximum overshoot 9.5796%, settling time 13 seconds, and error steady state 8.6944%.*

***Key Words:*** active fault tolerant control, finally superheater, control PID, sensor.

*Halaman ini sengaja dikosongkan*

## KATA PENGANTAR

Puji syukur penulis panjatkan kehadiran Allah SWT atas limpahan rahmat dan hidayah-Nya serta shalawat dan salam kepada Nabi Muhammad SAW sehingga penulis dapat menyelesaikan Tugas Akhir yang berjudul: **“Perancangan Active Fault Tolerant Control (AFTC) pada Sistem Pengendalian Temperatur Superheater PLTU PT PJB Gresik dengan Kesalahan Sensor”**

Dalam penyusunan laporan tugas akhir ini, tidak terlepas dari semua pihak yang turut membantu baik moril maupun materiil. Untuk itu penulis mengucapkan terima kasih kepada:

1. Orang tua, yang senantiasa tiada hentinya memberikan doa, semangat, serta motivasi kepada penulis dalam penggerjaan tugas akhir.
2. Bapak Agus Muhammad Hatta ST, Msi, Ph.D selaku Kepala Departemen Teknik Fisika ITS.
3. Bapak Dr. Bambang L. Widjiantoro, ST, MT selaku dosen pembimbing yang dengan sabar membimbing, memberikan saran dan kritiknya.
4. Bapak Ir. Ya’umar, MT, ibu Dr. Katherin Indriawati, ST, MT dan bapak Ir. Zulkifli, MSc selaku penguji yang telah memberikan masukan dalam penggerjaan tugas akhir ini.
5. Bapak Imam Abadi, ST, MT selaku dosen wali penulis yang telah memberikan wawasan kehidupan kampus.
6. Segenap jajaran teknisi PT PJB Gresik Unit 3&4, bapak Akhidin dan bapak Udin yang telah membimbing dan memfasilitasi selama pengambilan data lapangan.
7. Teman-teman asisten laboratorium rekayasa instrumentasi dan kontrol dan teman-teman Teknik Fisika 2014 yang senantiasa memberikan dukungan dan fasilitas laboratorium.
8. Khusnul Khotimah yang selalu mendukung dan memberikan motivasi bagi penulis.

Demikian laporan tugas akhir ini dibuat dengan sebaik-baiknya. Semoga laporan ini bermanfaat bagi semua pihak, khususnya untuk kemajuan industri di Indonesia.

Surabaya, 11 Juli 2018  
Penulis

## DAFTAR ISI

LEMBAR PENGESAHAN .....	vii
ABSTRAK .....	xi
<i>ABSTRACT</i> .....	xiii
KATA PENGANTAR.....	xv
DAFTAR ISI .....	xvii
DAFTAR GAMBAR .....	xix
DAFTAR TABEL .....	xxi
BAB I PENDAHULUAN .....	1
1.1 Latar Belakang .....	1
1.2 Rumusan Masalah .....	3
1.3 Tujuan.....	3
1.4 Batasan Masalah.....	3
1.5 Sistematika Laporan .....	4
BAB II TEORI PENUNJANG.....	5
2.1 <i>Superheater</i> .....	5
2.2 Sistem Pengendalian <i>Temperature Finally Superheater</i> .....	6
2.3 Pemodelan Matematis <i>Finally Superheater</i> .....	7
2.4 <i>Fault Tolerant Control (FTC)</i> .....	9
2.5 <i>Observer State</i> .....	11
2.6 Penentuan <i>Gain Matriks Observer</i> .....	14
2.7 Skema Rekonfigurasi Kontrol .....	14
BAB III METODOLOGI PENELITIAN .....	17
3.1 Pengambilan Data.....	21
3.2 Pemodelan .....	21
3.3 Validasi Model .....	26
3.4 Perancangan Kontroler PID.....	28
3.5 Perancangan <i>Active Fault Tolerant Control (AFTC)</i> .....	29
3.6 Uji Performansi .....	36
BAB IV ANALISA DATA DAN PEMBAHASAN .....	37
4.1 Uji Kesalahan Bias .....	37
4.2 Uji Kesalahan Sensitivitas .....	42

BAB V KESIMPULAN DAN SARAN .....	53
5.1 Kesimpulan.....	53
5.2 Saran .....	54
DAFTAR PUSTAKA.....	55
LAMPIRAN	

## DAFTAR GAMBAR

Gambar 2.1 Skema Proses <i>Superheater</i> .....	5
Gambar 2.2 Diagram Blok Sistem Pengendalian <i>Finally Superheater</i> .....	7
Gambar 2.3 Kesetimbangan Energi.....	7
Gambar 2.4 Skema Umum <i>Fault Tolerant Control</i> .....	9
Gambar 2.5 Struktur Umum <i>Active Fault Tolerant Control</i> .....	10
Gambar 2.6 Skema Rekonfigurasi Kontrol .....	15
Gambar 3.1 <i>Flowchart</i> Metodologi Penelitian.....	19
Gambar 3.2 Skema Validasi Model.....	26
Gambar 3.3 Grafik Respon Hasil Uji Validasi Temperatur <i>Finally Superheater</i> .....	27
Gambar 3.4 Skema Diagram Blok Perancangan Kontroler PID .....	28
Gambar 3.5 Grafik Respon Perancangan Kontroler PID .....	29
Gambar 3.6 Skema Perancangan Rekonfigurasi Kontrol.....	36
Gambar 4.1 Respon Sistem Pengendalian dengan Kesalahan Bias +0,32% .....	38
Gambar 4.2 Perbesaran Respon Sistem Pengendalian dengan Kesalahan Bias +0,32% .....	38
Gambar 4.3 Respon Sistem Pengendalian dengan Kesalahan Bias -0,32% .....	40
Gambar 4.4 Perbesaran Respon Sistem Pengendalian dengan Kesalahan Bias -0,32% .....	40
Gambar 4.5 Respon Sistem Pengendalian dengan Kesalahan Sensitivitas 1% .....	42
Gambar 4.6 Perbesaran Respon Sistem Pengendalian dengan Kesalahan Sensitivitas 1% .....	43
Gambar 4.7 Respon Sistem Pengendalian dengan Kesalahan Sensitivitas 2% .....	44
Gambar 4.8 Perbesaran Respon Sistem Pengendalian dengan Kesalahan Sensitivitas 2% .....	45
Gambar 4.9 Respon Sistem Pengendalian dengan Kesalahan Sensitivitas 5% .....	46

Gambar 4.10 Perbesaran Respon Sistem Pengendalian dengan Kesalahan Sensitivitas 5% .....	47
Gambar 4.11 Respon Sistem Pengendalian dengan Kesalahan Sensitivitas 8% .....	48
Gambar 4.12 Perbesaran Respon Sistem Pengendalian dengan Kesalahan Sensitivitas 8% .....	49
Gambar 4.13 Respon Sistem Pengendalian dengan Kesalahan Sensitivitas 15% .....	50
Gambar 4.14 Perbesaran Respon Sistem Pengendalian dengan Kesalahan Sensitivitas 15% .....	51

## **DAFTAR TABEL**

Tabel 3.1 Data Pemodelan <i>Plant Finally Superheater</i> .....	21
Tabel 3.2 Hasil Uji Validasi Temperatur <i>Finally Superheater</i> ...	26
Tabel 4.1 Parameter Performansi dengan Kesalahan Bias +0,32% .....	39
Tabel 4.2 Parameter Performansi dengan Kesalahan Bias -0,32% .....	41
Tabel 4.3 Parameter Performansi dengan Kesalahan Sensitivitas 1% .....	43
Tabel 4.4 Parameter Performansi dengan Kesalahan Sensitivitas 2% .....	45
Tabel 4.5 Parameter Performansi dengan Kesalahan Sensitivitas 5% .....	47
Tabel 4.6 Parameter Performansi dengan Kesalahan Sensitivitas 8% .....	49
Tabel 4.7 Parameter Performansi dengan Kesalahan Sensitivitas 15% .....	51

*Halaman ini sengaja dikosongkan*

## BAB I

### PENDAHULUAN

#### 1.1 Latar Belakang

Energi listrik merupakan sumber energi yang sangat penting bagi kehidupan manusia baik untuk kegiatan industri, kegiatan komersial maupun untuk kehidupan sehari-hari. Salah satu sumber energi listrik yaitu pembangkit listrik tenaga uap. Pembangkit listrik tenaga uap (PLTU) memiliki beberapa komponen yang sangat penting salah satunya adalah *boiler*. *Boiler* berfungsi untuk mengubah air menjadi uap melalui proses pemanasan. Uap hasil pemanasan akan digunakan untuk menggerakkan *turbine*. Putaran *turbine* akan menggerakkan *generator* sehingga dapat menghasilkan listrik [1]. Di dalam *boiler* terdapat salah satu bagian penting yakni *superheater*, yang berperan sebagai mengubah uap jenuh menjadi uap kering. Di dalam *superheater* sendiri terdapat sistem pengendalian temperatur untuk menjaga temperatur *output superheater* agar sesuai dengan *set point*. Hal ini bertujuan untuk menjaga kualitas uap kering, menjaga kerusakan pada sudu-sudu turbin dan juga menjamin proses berjalan pada kondisi normal dan kontinyu [2].

Sistem pengendalian temperatur pada *superheater* sangatlah dibutuhkan karena jika terjadi sedikit kesalahan pada komponen sistem, maka akan berdampak besar. Salah satu komponen yang berpotensi terjadi kesalahan pada sistem pengendalian temperatur pada *superheater* adalah sensor temperatur. Hal ini dapat dikarenakan letak sensor temperatur yang terletak dilapangan dan langsung bersentuhan dengan lingkungan. Berbeda dengan kontroler yang berada di tempat terlindung yang tidak bersentuhan dengan lingkungan secara langsung [3]. Adapun hal lain yang dapat menyebabkan kesalahan pembacaan sensor yaitu *lifetime* dari sensor tersebut dan adanya gangguan saat pengiriman sinyal ke kontroler. Jika terjadi suatu kesalahan pembacaan pada sensor, maka kontroler akan memberikan sinyal kontrol yang salah kepada aktuator yakni *control valve* dari *water spray* yang berfungsi untuk

menurunkan temperatur *superheater* agar sesuai dengan *set point*, sehingga apabila temperatur *output* terlalu tinggi maka akan berdampak *overheat* atau panas berlebih pada *superheater*. Selain dapat merusak peralatan turbin akibat melebihi batas maksimal temperatur uap yang diijinkan memutar sudu-sudu turbin, *overheat* pada *superheater* juga dapat merusak *superheater tube* (Pipa *Superheater*). Akibatnya pipa *superheater* dapat pecah atau meledak yang dapat menyebabkan kegagalan pengoperasian *boiler* dan juga mempengaruhi pengoperasian keseluruhan suatu pembangkit [2]. Sedangkan apabila temperatur *output superheater* terlalu rendah maka dapat menyebabkan korosi pada sudu-sudu turbin dan juga dapat menurunkan kualitas uap kering sehingga menyebabkan efisiensi dari turbin juga menurun. Maka dari itu untuk meningkatkan performansi dan kebutuhan *safety* dibutuhkan sistem kontrol yang mampu menoleransi kesalahan pada komponen ini.

Teknologi yang mampu menoleransi kesalahan sensor atau aktuator secara otomatis terus dikembangkan dengan desain *Fault Tolerant Control* (FTC). Desain toleransi kesalahan ini memungkinkan untuk mempertahankan kestabilan sistem, serta menghindari kondisi operasi *abnormal* yang dapat menyebabkan *trip* pada saat terjadi kesalahan pada komponen sensor atau aktuator. Sistem *Fault Tolerant Control* terdiri dari 2 tipe, yaitu *Pasive Fault Tolerant Control* (PFTC) dirancang untuk mempertahankan sistem dari kegagalan yang terjadi. Sedangkan *Active Fault Tolerant Control* (AFTC) bereaksi terhadap kegagalan/kesalahan komponen dengan cara merekonfigurasi aksi kontrol sehingga mampu mempertahankan kestabilan sistem ketika terjadi kesalahan [4]. Pada Tugas akhir ini akan dilakukan perancangan *Active Fault Tolerant Control* (AFTC) pada sistem pengendalian temperatur *finally superheater* PLTU PT PJB Gresik dengan kesalahan sensor. Sehingga diharapkan AFTC mampu menolerir kesalahan yang terjadi pada sensor sistem pengendalian temperatur *superheater*, agar kestabilan sistem tetap terjaga.

## 1.2 Rumusan Masalah

Berdasarkan latar belakang sebelumnya, maka rumusan masalah yang diambil pada tugas akhir ini adalah:

- a. Bagaimana merancang *Active Fault Tolerant Control* (AFTC) pada sistem pengendalian temperatur *superheater* PLTU PT PJB Gresik dengan kesalahan sensor?
- b. Bagaimana perbandingan performansi respon sistem pengendali dengan dan tanpa menggunakan *Active Fault Tolerant Control* (AFTC) ketika terjadi kesalahan pada sensor?

## 1.3 Tujuan

Berdasarkan permasalahan yang telah disebutkan di atas, maka tujuan tugas akhir ini adalah:

- a. Untuk merancang *Active Fault Tolerant Control* (AFTC) pada sistem pengendalian temperatur *superheater* yang dapat mentoleransi kesalahan pada sensor sehingga kestabilan sistem tetap terjaga.
- b. Untuk mengetahui perbandingan performansi respon sistem kontroler dengan dan tanpa menggunakan *Active Fault Tolerant Control* (AFTC) ketika terjadi kesalahan pada sensor.

## 1.4 Batasan Masalah

Adapun batasan masalah pada tugas akhir ini adalah:

- a. Proses yang ditinjau adalah pengendalian temperatur pada *Finally Superheater* PLTU PT PJB Gresik Unit 4.
- b. Kesalahan yang terjadi adalah kesalahan pembacaan sensor *thermocouple* pada *finally superheater* berupa kesalahan bias dan kesalahan sensitivitas.
- c. Pengambilan data dilakukan di PLTU PT PJB Gresik Unit 4 pada tanggal 1-18 Maret 2018 pada kondisi beban maksimum 200 MW.
- d. Validasi model *plant* dilakukan dengan menggunakan data proses pada tanggal 2 Maret 2018, selama selang 1x24 Jam.

- e. Sistem kontrol yang digunakan pada proses pengendalian temperatur di *superheater* menggunakan algoritma PID.
- f. Perancangan *Active Fault Tolerant Control* dilakukan dengan menggunakan *software* MATLAB 2014a.

## 1.5 Sistematika Laporan

Sistematika laporan yang digunakan dalam penyusunan laporan tugas akhir ini adalah sebagai berikut:

### BAB I PENDAHULUAN

Berisi tentang latar belakang, perumusan masalah, batasan masalah, tujuan penelitian dan sistematika laporan.

### BAB II TEORI PENUNJANG

Berisi tentang pengertian dan proses *superheater*, sistem kontrol pada *finally superheater*, *active fault tolerant control* dan perancangannya.

### BAB III METODOLOGI PENELITIAN

Berisi tentang langkah-langkah perancangan pengendali PID dan *active fault tolerant control* dengan simulasi pada program MATLAB 2014a.

### BAB IV ANALISA DATA DAN PEMBAHASAN

Berisi tentang analisis hasil perancangan sistem dengan *active fault tolerant control* dibandingkan dengan hasil sistem tanpa *active fault tolerant control* ketika diberi kesalahan sensitivitas dan kesalahan bias.

### BAB V KESIMPULAN DAN SARAN

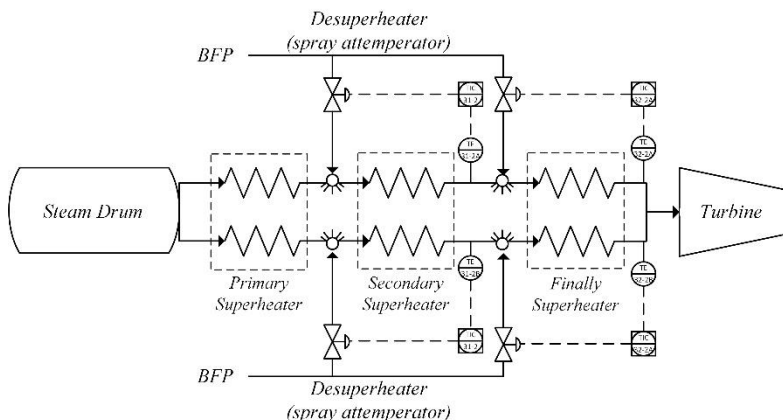
Berisi tentang kesimpulan hasil yang didapatkan setelah dilakukan perancangan *active fault tolerant control* dan saran.

## BAB II

### TEORI PENUNJANG

#### 2.1 Superheater

*Superheater* merupakan suatu penukar panas yang berfungsi untuk memanaskan uap jenuh (*saturated steam*) menjadi uap kering (*superheated steam*) dengan cara memanfaatkan gas panas hasil pembakaran. Hal tersebut dapat meningkatkan efisiensi siklus secara keseluruhan dan mengurangi kadar air agar tidak merusak sudu-sudu turbin [2]. Skema P&ID dari proses pada *superheater* dapat dilihat pada Gambar 2.1.



**Gambar 2.1 P&ID Proses Superheater**

Pada umumnya susunan pemanas uap lanjut (*superheater*) ini dibuat bertingkat yakni *primary superheater*, *secondary superheater* dan *finally superheater* adalah dengan tujuan untuk memudahkan dalam pengontrolan temperatur keluarannya dengan menggunakan cara *dispray* dengan air (*Desuperheater*) yang berasal dari *BFP* (*Boiler Feed Pump*) [5].

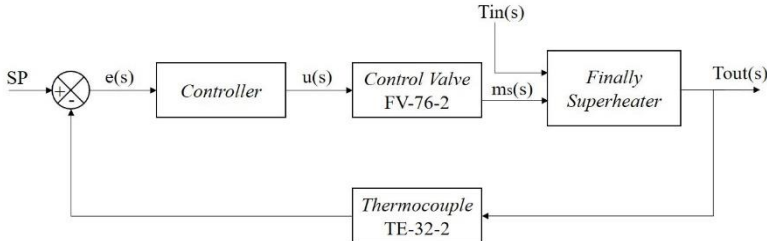
Sistem Pengendalian temperatur pada *superheater* menggunakan sistem *feed back close loop*. *Superheater* dilengkapi beberapa komponen pelengkap untuk menurunkan temperatur

yaitu *desuperheater* yang berbentuk seperti *spray*. *Desuperheater* berfungsi untuk mengurangi temperatur uap dengan mendinginkan uap agar sesuai dengan *set point* [6]. *Primary superheater* menerima *input* berupa uap jenuh dari *steam drum*, lalu uap tersebut dipanaskan dengan memanfaatkan gas panas hasil pembakaran, kemudian uap akan keluar melalui *primary superheater outlet* melalui pipa transfer yang dilengkapi dengan pipa *spray* tipe *attempator* untuk mengatur temperatur uap yang keluar dari *secondary superheater*. Selanjutnya uap yang telah dipanaskan pada *secondary superheater* akan keluar melalui *secondary superheater outlet* melalui pipa transfer yang dilengkapi juga dengan pipa *spray* tipe *attemperator* untuk mengatur temperatur uap yang keluar dari *finally superheater*. Temperatur yang keluar dari *secondary superheater* memiliki *set point* sebesar  $\pm 457^{\circ}\text{C}$  sedangkan temperatur yang keluar dari *finally superheater* memiliki *set point* sebesar  $\pm 540^{\circ}\text{C}$ , namun temperatur tersebut selalu melebihi dari *set point* sehingga diberikan *desuperheater* untuk menurunkan temperatur [7]. Setelah itu uap yang keluar melalui *finally superheater outlet* akan digunakan untuk memutar *high pressure turbine*.

## 2.2 Sistem Pengendalian Temperature Finally Superheater

Sistem pengendalian temperatur pada *superheater* PLTU PT PJB Gresik diperlukan untuk menjaga temperatur keluaran uap ( $T_{out}$ ) dari *finally superheater outlet* yaitu sebesar  $540^{\circ}\text{C}$ . Maka dari itu temperatur *inlet* pada *finally superheater* harus dijaga agar tidak melebihi dari  $\pm 410^{\circ}\text{C}$  dengan cara disemprotkan *water spray*, sehingga dalam sistem pengendalian temperatur *superheater* diperlukan sebuah sensor temperatur yang menggunakan *thermocouple* (TE-32-2). Sensor tersebut digunakan untuk mengukur besaran temperatur pada *finally superheater outlet*, selanjutnya diperlukan pula kontroler yakni berupa PID untuk mengendalikan sistem. Kontroler PID berguna untuk menjaga temperatur tetap pada *set point* dengan memanipulasi laju aliran *spray water* yang berasal dari *Boiler Feed Pump* (BFP), sehingga dibutuhkan *final control element* berupa *control valve* (FV-76-2)

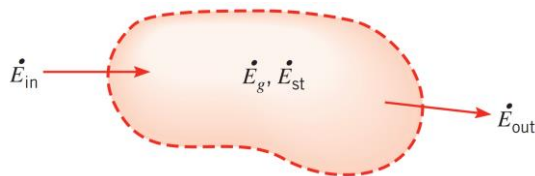
sebagai *manipulated variable*. Jika temperatur yang terukur melebihi *set point*, maka laju aliran *water spray* akan ditambah dan sebaliknya [5]. Berikut adalah diagram blok sistem pengendalian *superheater*.



**Gambar 2.2** Diagram Blok Sistem Pengendalian *Finally Superheater*

### 2.3 Pemodelan Matematis *Finally Superheater*

Hukum yang digunakan untuk memodelkan *finally superheater* adalah hukum pertama termodinamika yaitu menggunakan kesetimbangan energi (*energy balance*). Hukum ini menyatakan bahwa jumlah energi yang masuk ke dalam sistem sebanding dengan jumlah energi yang keluar dari sistem serta energi yang terakumulasi dalam sistem itu sendiri [8].



**Gambar 2.3** Kesetimbangan Energi [8]

Hukum kesetimbangan energi yang berlaku sesuai dengan kondisi masukan dan keluaran dari *finally superheater* adalah sebagai berikut.

$$E_{in} + E_g = E_{st} + E_{out} \quad (2.1)$$

$$E_{st} = E_{in} - E_{out} \quad (2.2)$$

Dikarenakan energi *input* terdapat 2 variabel yaitu energi *water spray* dan energi *steam input*, dengan demikian persamaan *energy balance* diatas bisa dijabarkan sebagai berikut.

$$E_{st} = E_{in} - E_{out} + E_{spray} \quad (2.3)$$

Sehingga dapat dituliskan dalam bentuk *rate* (laju), persamaan *energy balance* diatas bisa dinyatakan sebagai berikut.

$$\frac{[akumulasi energi total]}{waktu} = \frac{[Energi total steam input]}{waktu} - \frac{[Energi total steam output]}{waktu} + \frac{[Energi total input spray]}{waktu} \quad (2.4)$$

$$\frac{dE_{st}}{dt} = \dot{E}_{in} - \dot{E}_{out} + \dot{E}_{spray} \quad (2.5)$$

$$m \cdot C_v \frac{dT_o}{dt} = \dot{m}_{in} \cdot C_{vin} \cdot T_{in} - \dot{m}_{out} \cdot C_{vout} \cdot T_{out} + \dot{m}_{spray} \cdot C_p \cdot T_{spray} \quad (2.6)$$

$$V \cdot \rho_v \cdot C_v \frac{dT_o}{dt} = \dot{m}_{in} \cdot C_{vin} \cdot T_{in} - \dot{m}_{out} \cdot C_{vout} \cdot T_{out} + \dot{m}_{spray} \cdot C_p \cdot T_{spray} \quad (2.7)$$

Dimana:

$V$	= Volume <i>finally superheater</i> ( $\text{m}^3$ )
$\rho_v$	= Densitas <i>steam</i> ( $\text{kg}/\text{m}^3$ )
$\dot{m}_{in}$	= Mass flowrate <i>steam in</i> ( $\text{kg}/\text{s}$ )
$\dot{m}_{out}$	= Mass flowrate <i>steam out</i> ( $\text{kg}/\text{s}$ )
$\dot{m}_{spray}$	= Mass flowrate <i>water spray</i> ( $\text{kg}/\text{s}$ )
$C_v$	= Kalor spesifik <i>finally superheater</i> ( $\text{kJ}/\text{kgK}$ )
$C_{vin}$	= Kalor spesifik <i>steam in</i> ( $\text{kJ}/\text{kgK}$ )
$C_{vout}$	= Kalor spesifik <i>steam out</i> ( $\text{kJ}/\text{kgK}$ )
$C_p$	= Kalor spesifik <i>water spray</i> ( $\text{kJ}/\text{kgK}$ )
$T_{in}$	= Temperatur <i>inlet</i> (K)
$T_{out}$	= Temperatur <i>outlet</i> (K)
$T_{spray}$	= Temperatur <i>water spray</i> (K)

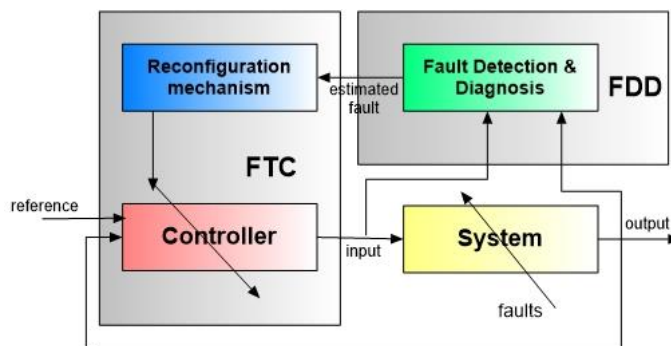
## 2.4 Fault Tolerant Control (FTC)

*Fault Tolerant Control* merupakan suatu sistem yang akan bekerja ketika suatu sensor maupun aktuator mengalami suatu kegagalan atau *failure*. Sistem kontrol ini dapat mempertahankan stabilitas dan kinerja yang diinginkan dari suatu sistem ketika mengalami kegagalan. Kontrol sistem ini sering juga disebut dengan *Fault Tolerant Control System* (FTCS) [4].

FTCS dapat diklasifikasikan pada 2 tipe yaitu *passive fault tolerant control system* (PFTCS) dan *Active Fault Tolerant Control system* (AFTCS). PFTCS dirancang untuk mempertahankan sistem dari kegagalan yang terjadi. Sedangkan AFTCS bereaksi terhadap kegagalan komponen dengan merekonfigurasi aksi kontrol sehingga kestabilan dan kinerja pada sistem dapat dijaga. AFTCS dapat juga disebut *Fault Detection and Identification (Diagnosis)*. Sehingga tujuan utama dari FTCS adalah merancang kontroler dengan struktur yang cocok untuk mencapai kestabilan dan kinerja. Tidak hanya ketika kontrol komponen berfungsi secara normal tetapi ketika terjadi kegagalan pada suatu komponen yang lain [9].

Menurut Zhang dan Jiang (2008), *Active Fault Tolerant Control* (AFTC) terdiri atas empat sub sistem yaitu:

- Reconfigurable Controller* (RC)
- Fault Detection Diagnosis* (FDD) *Scheme*
- Mekanisme RC
- Command Reference Actuator*.



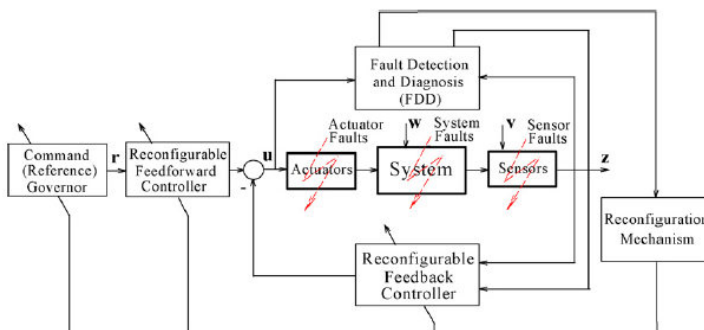
Gambar 2.4 Skema Umum *Fault Tolerant Control* [10]

Berdasarkan Gambar 2.4, Perbedaan AFTC dan PFTC adalah terletak pada perancangan *fault detection and diagnosis* (FDD) dan *reconfigurable controller* (RC). Sehingga kunci utama pada AFTC adalah merancang kontroler yang dapat direkonfigurasi, skema FDD dengan sensitivitas yang tinggi terhadap kesalahan dan mekanisme rekonfigurasi yang se bisa mungkin mampu memulihkan performansi sistem setelah terjadi kesalahan walaupun terdapat ketidakpastian dan *time delay* pada FDD [4].

Tahapan dalam perancangan *active fault tolerant control* adalah sebagai berikut [10]:

- Merancang kontroler yang dapat direkonfigurasi
- Dilakukan perancangan *observer* untuk mengestimasi kesalahan aktuator dan/atau sensor
- Merancang skema FDD dengan sensitivitas yang tinggi terhadap kegagalan dan *robust* terhadap ketidakpastian model, kondisi operasi yang variatif serta gangguan eksternal, FDD digunakan untuk mengetahui besarnya kesalahan yang terjadi pada sistem tersebut
- Merancang mekanisme rekonfigurasi yang se bisa mungkin mampu memulihkan performansi sistem setelah terjadi kesalahan meskipun terdapat ketidakpastian dan *delay time* pada *fault detection*.

Struktur umum dari *Active Fault Tolerant Control system* dapat dilihat pada Gambar 2.5 berikut.



**Gambar 2.5** Struktur Umum *Active Fault Tolerant Control* [4]

## 2.5 Observer State

*Observer* adalah suatu algoritma yang digunakan mengestimasi keadaan (*state*) sistem berdasarkan model matematis sistem. Selain itu *observer* juga digunakan untuk mengestimasi kesalahan (*fault*) yang terjadi pada sistem. Mengingat bahwa multivariabel linier *plant* dengan *output* hasil pengukuran direpresentasikan sebagai berikut [11]:

$$\dot{x}(t) = Ax(t) + Bu(t) \quad (2.8)$$

$$y(t) = Cx(t) + Du(t) \quad (2.9)$$

Dimana:

$\dot{x}$  = Perubahan *state* terhadap waktu

$y$  = *output* sistem

$A$  = matriks *state* sistem

$B$  = matriks *input* sistem

$C$  = matriks *output* sistem

$D$  = matriks *noise* sistem

$x$  = vektor *state*

$u$  = vektor kontrol *input*

Model matematis *observer* sama seperti model matematis pada sistem sehingga *observer* dapat mengestimasi keadaan sistem dalam bentuk persamaan ruang keadaan. Untuk mengkompensasi kesalahan aktuator dan kesalahan sensor pada waktu yang sama diperlukan modifikasi algoritma *observer* baru. Sehingga jika di dalam sistem atau *plant* terjadi kesalahan, maka persamaan 2.8 dan 2.9 akan menjadi persamaan berikut [12].

$$\dot{x}(t) = Ax(t) + Bu(t) + F_a f_a(t) \quad (2.10)$$

$$y(t) = Cx(t) + Du(t) + F_s f_s(t) \quad (2.11)$$

Dimana:

$F_a$  = matriks kesalahan aktuator

$F_s$  = matriks kesalahan sensor

$f_a$ = vektor kesalahan aktuator

$f_s$ = vektor kesalahan sensor

Kemudian *state* baru  $\dot{z}(t)$  ditambahkan untuk memindahkan kesalahan sensor dari persamaan keluaran ke persamaan keadaan, persamaan tersebut dapat didefinisikan persamaan baru sebagai berikut:

$$\dot{z}(t) = Az(y(t) - z(t)) \quad (2.12)$$

$$\dot{z}(t) = Az(Cx(t) + F_s f_s(t) - z(t)) \quad (2.13)$$

$$\dot{z}(t) = Az.Cx(t) + Az.F_s f_s(t) - Az.z(t) \quad (2.14)$$

Untuk  $Az$  merupakan matriks identitas ( $I$ ) untuk  $Az \in I^q$ , sedangkan matriks dari kesalahan sensor dan aktuator didefinisikan sebagai  $f = \begin{bmatrix} f_a \\ f_s \end{bmatrix}$

Dari persamaan di atas, maka dapat didefinisikan matriks yang akan digunakan untuk mendapatkan matriks yang sudah di ekspansi sebagai berikut.

$$\begin{cases} \dot{X}_a(t) = A_a x_a(t) + B_a u(t) + E_a f(t) \\ y(t) = C_a x_a(t) \end{cases} \quad (2.15)$$

$$\begin{bmatrix} \dot{x}(t) \\ \dot{z}(t) \end{bmatrix} = \begin{bmatrix} A & 0 \\ Az.C & -Az \end{bmatrix} \begin{bmatrix} x(t) \\ z(t) \end{bmatrix} + \begin{bmatrix} B \\ 0 \end{bmatrix} u(t) + \begin{bmatrix} F_a & 0 \\ 0 & Az.F_s \end{bmatrix} \begin{bmatrix} f_a(t) \\ f_s(t) \end{bmatrix} \quad (2.16)$$

$$y(t) = \dot{z}(t) = [0 \quad C] \begin{bmatrix} x(t) \\ z(t) \end{bmatrix} \quad (2.17)$$

Dimana:

$$Aa = \begin{bmatrix} A & 0 \\ Az.C & -Az \end{bmatrix}, Ba = \begin{bmatrix} B \\ 0 \end{bmatrix}, Ca = [0 \quad C], Ea = \begin{bmatrix} F_a & 0 \\ 0 & Az.F_s \end{bmatrix}$$

Untuk memperoleh nilai dari *gain observer* maka ditambahkan *state* yang mengandung *gain* agar dapat mengestimasi kesalahan sensor, sehingga ekspansi matriks melalui persamaan ruang keadaan baru yang ditunjukkan pada persamaan berikut.

$$\left\{ \begin{array}{l} \hat{\tilde{X}}(t) = A_a \hat{X} + B_a u + E_a \begin{bmatrix} \hat{f}_a \\ \hat{f}_s \end{bmatrix} + L_x (Y - \hat{Y}) \\ \begin{bmatrix} \hat{f}_a \\ \hat{f}_s \end{bmatrix} = L_f (Y - \hat{Y}) \\ \hat{Y} = C_a \hat{X} \end{array} \right. \quad (2.18)$$

Dimana  $\hat{X}$ ,  $\hat{f}$ ,  $\hat{Y}$  merupakan *state estimate*, *fault estimate* dan *output estimate*.  $L_x$  adalah *gain propotional* dari *observer* dan  $L_f$  adalah *gain integral* dari *observer*. Sehingga dari persamaan diatas akan menjadi sebagai berikut.

$$\begin{bmatrix} \hat{x}(t) \\ \hat{f}(t) \end{bmatrix} = \begin{bmatrix} Aa & Ea \\ 0 & 0 \end{bmatrix} \begin{bmatrix} \hat{x} \\ \hat{f} \end{bmatrix} + \begin{bmatrix} Ba \\ 0 \end{bmatrix} u + \begin{bmatrix} L_x \\ L_f \end{bmatrix} [Ca \quad 0] (Y - \hat{Y}) \quad (2.19)$$

$$\hat{Y} = [Ca \quad 0] \begin{bmatrix} \hat{x} \\ \hat{f} \end{bmatrix} \quad (2.20)$$

Dari bentuk (2.19) dan (2.20) dapat diubah menjadi persamaan keadaan dan persamaan keluaran *observer*, sebagai berikut.

$$\hat{\tilde{x}}(t) = \tilde{A}_a \hat{\tilde{x}}(t) + \tilde{B}_a u(t) + \tilde{K}_e (\tilde{y}(t) - \hat{\tilde{y}}(t)) \quad (2.21)$$

$$\hat{\tilde{y}}(t) = \tilde{C}_a \hat{\tilde{x}}(t) \quad (2.22)$$

Sehingga matriks yang sudah diekspansi ditunjukkan seperti berikut ini:

$$\tilde{A}_a = \begin{bmatrix} Aa & Ea \\ 0 & 0 \end{bmatrix}, \quad \tilde{C}_a = [Ca \quad 0]$$

## 2.6 Penentuan *Gain Matriks Observer*

Perbedaan kondisi *steady* merupakan perbedaan antara keadaan awal dan keadaan awal estimasi, didefinisikan pada persamaan (2.23).

$$\dot{\tilde{x}}(t) = A\tilde{x} + Bu + K_e(Y - C\tilde{x}) \quad (2.23)$$

Dimana:

$\tilde{x}$  =keadaan estimasi

$C\tilde{x}$  =keadaan estimasi keluaran

$K_e$  =*Gain matriks Observer*

Solusi pendekatan untuk medapatkan nilai *gain matriks observer* adalah dengan menggunakan solusi *Pole Placement* dimana *Pole Placement* adalah metode uji coba peletakan nilai *Pole* ( $\mu_n$ ) yang sesuai. Dengan mensubtitusikan  $K_e$  menjadi bentuk polinomial maka akan didapatkan persamaan berikut ini [12].

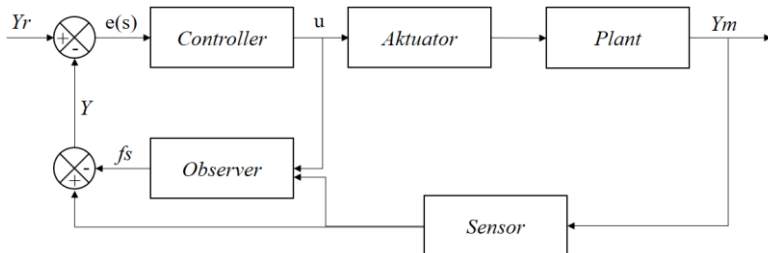
$$|sI - CA - K_e C| = (s - \mu_1)(s - \mu_{n+1})(s - \mu_{n+...}) \quad (2.24)$$

$$K = [0 \ 0 \ \dots \ 0 \ 1][C^T : A^T C^T : \dots : C^T : (A^T)^{n-1} C^T]^{-1} \emptyset(A^T) \quad (2.25)$$

$$K_e = K^T = \emptyset(A^T)^T \begin{bmatrix} C \\ CA \\ \vdots \\ CA^{n-2} \\ CA^{n-1} \end{bmatrix}^{-1} \begin{bmatrix} 0 \\ 0 \\ \vdots \\ 0 \\ 1 \end{bmatrix} \quad (2.26)$$

## 2.7 Skema Rekonfigurasi Kontrol

Desain rekonfigurasi dari sinyal kontrol akan bekerja secara otomatis agar dapat mengakomodir kesalahan sehingga *plant* tetap beroperasi. Mekanisme rekonfigurasi dirancang yang se bisa mungkin mampu memulihkan performansi sistem setelah terjadi kesalahan meskipun terdapat ketidakpastian dan waktu tunda pada *fault detection*. Berikut merupakan skema rekonfigurasi kontrol [13].



**Gambar 2.6 Skema Rekonfigurasi Kontrol [13]**

Pada Gambar 2.6, menunjukkan bahwa *observer* adalah bagian dari *fault detection diagnosis* dan *estimation compensation*. *Fault detection diagnosis* (FDD) bertujuan untuk mendefinisikan kesalahan dengan mendapatkan informasi dari sinyal hasil pengukuran ( $Y_m$ ). Selanjutnya informasi diteruskan menuju *estimation compensation* untuk mengestimasi kesalahan dengan mendapat sinyal referensi dari sinyal control ( $u$ ). Dengan demikian *estimation compensation* dan *fault detection diagnosis* (FDD) akan mendapat *input* berupa sinyal kontrol ( $u$ ) dan sinyal hasil pengukuran ( $Y_m$ ).

Rekonfigurasi kontrol ini dilakukan dengan menambahkan sinyal kontrol berupa  $Y$ . Nilai  $Y$  ini didapatkan dari perhitungan sebagai berikut:

$$Y = Y_m - f_s \quad (2.27)$$

Dimana:

$Y$  = Nilai sebenarnya

$Y_m$  = Nilai hasil pengukuran

$f_s$  = Nilai hasil estimasi *fault*

Dengan adanya penambahan sinyal kontrol tersebut, maka didapatkan nilai *error* dengan perumusan yang baru sebagai berikut:

$$e = Y_r - Y \quad (2.28)$$

Dimana:

$e$  = error

$Y_r$  = Nilai *setpoint*

$Y$  = Nilai sebenarnya

## **BAB III**

### **METODOLOGI PENELITIAN**

Metodologi yang digunakan untuk mencapai tujuan dari tugas akhir ini dijelaskan melalui diagram alir yang ditunjukkan pada Gambar 3.1 yang mendeskripsikan tahap-tahap penelitian sebagai berikut.

**a. Perumusan masalah**

Perumusan masalah merupakan tahap pertama dalam pengerjaan tugas akhir dengan tujuan untuk menentukan permasalahan yang akan diangkat dengan topik mengenai AFTC.

**b. Studi literatur**

Studi literatur merupakan tahapan untuk membangun pemahaman awal hingga detail mengenai topik tugas akhir yang diselesaikan. Sehingga, diperlukan studi literatur yang berhubungan erat dengan pengendalian temperatur pada *superheater* dan perancangan AFTC pada suatu sistem.

**c. Pengambilan data *plant***

Pengambilan data spesifikasi *finally superheater*, sensor dan aktuator meliputi data besaran *input* dan *output*, *Piping and Instrument Diagram (P&ID)*, data riwayat keterawatan dari instrumen sistem *superheater* dan data kalibrasi instrumen sistem *superheater* yang menunjukkan adanya riwayat kesalahan pada sensor temperatur *superheater*. Pengambilan data dilakukan di PLTU PT PJB Gresik Unit 4 pada kondisi beban maksimum 200 MW.

**d. Pemodelan *finally superheater*, sensor dan aktuator**

Pemodelan *finally superheater*, sensor dan aktuator didapatkan dari data spesifikasi yang telah diambil. Pemodelan *finally superheater* menggunakan hukum kesetimbangan energi seperti pada persamaan (2.1-2.7).

e. **Validasi Pemodelan**

Validasi dilakukan dengan uji open loop fungsi transfer *finally superheater* dengan memberikan besar laju aliran *water spray* yang berubah-ubah terhadap temperatur *steam input finally superheater*. Validasi model dilakukan dengan cara membandingkan hasil *real plant* dengan hasil uji simulasi menggunakan *simulink* Matlab R2014a. Model dapat dikatakan *valid* apabila *error* yang terjadi  $\leq 2\%$ , maka dapat diasumsikan permodelan sudah merpresentasikan *plant*.

f. **Perancangan kontroler PID**

Pada tahap ini dilakukan tuning kontroler PID yang mampu memberikan respon yang baik untuk *plant* yang telah dimodelkan. Tuning Kontroler PID menggunakan metode *trial and error* menggunakan fitur *simulink* di perangkat lunak Matlab R2014a. Respon sistem dapat dikatakan baik apabila parameter-parameter seperti *maximum overshoot*, *setling time* dan *error steady state* sesuai dengan kriteria yang telah ditentukan. Salah satu kriterianya adalah *error steady state (ess)*  $\leq \pm 2^\circ\text{C}$  (0,37%) dimana nilai tersebut merupakan nilai *ess* yang diperbolehkan dari PT PJB Gresik.

g. **Perancangan Active Fault Tolerant Control (AFTC)**

Tahap pertama adalah perancangan *observer* yaitu dengan mengubah fungsi transfer *laplace model* menjadi *state space model* sehingga didapatkan matriks A, B, C, D yang digunakan untuk mendapatkan *gain observer*. Tahap kedua adalah rekonfigurasi kontrol, dimana perancangan ini bertujuan untuk mengembalikan stabilitas kontrol yang tidak stabil akibat kesalahan pada sensor temperatur dengan mengubah perhitungan sinyal kontrolnya.

h. **Analisis respon**

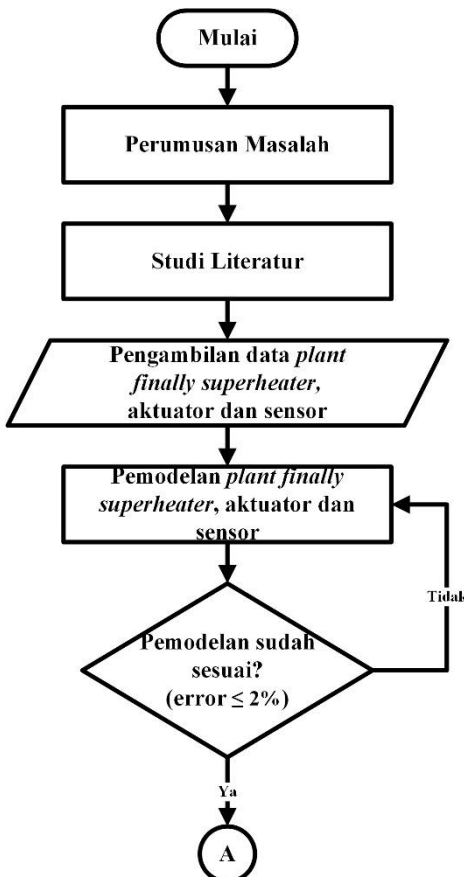
Analisis respon dilakukan berdasarkan uji performansi sistem dengan memberikan kesalahan berupa kesalahan bias dan sensitivitas pada sensor pengendalian temperatur. Sehingga

didapatkan grafik respon sistem dengan menggunakan dan tanpa menggunakan AFTC.

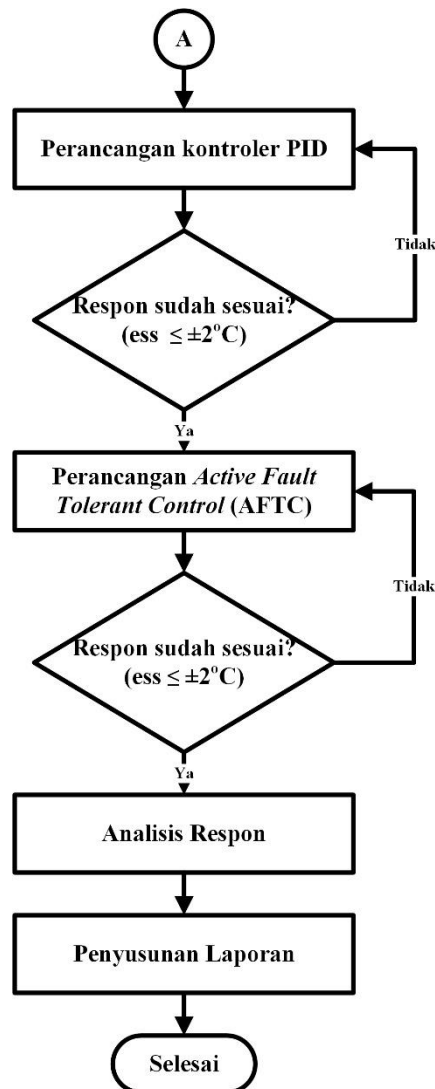
i. **Penyusunan laporan tugas akhir**

Pada tahap ini dilakukan penulisan laporan mengenai tugas akhir yang telah dilakukan.

*Flowchart* pengerjaan tugas akhir ditunjukkan pada Gambar 3.1.



**Gambar 3.1** *Flowchart* Metodologi Penelitian



**Gambar 3.1** Flowchart Metodologi Penelitian (lanjutan)

### 3.1 Pengambilan Data

Data yang digunakan untuk pemodelan *plant* berupa *volume finally superheater*, *flow steam in*, *flow steam out*, dll. Data didapat dari ruang CCR (*Central Control Room*) PLTU PT PJB Gresik Unit 4. Variabel yang dikendalikan pada obyek tugas akhir ini adalah temperatur *steam output* pada *finally superheater*. Variabel yang dimanipulasi adalah laju aliran *water spray* terhadap temperatur *steam input* melalui operasi *control valve*.

**Tabel 3.1** Data Pemodelan *Plant Finally Superheater*

Notasi	Keterangan	Nilai dan Satuan
V	Volume <i>Finally Superheater</i>	40,2984 m <sup>3</sup>
$\dot{m}_{in}$	Mass Flowrate Steam in	157,0581 kg/s
$\dot{m}_{out}$	Mass Flowrate Steam out	160,8853 kg/s
$\rho_v$	Massa Jenis Uap <i>Finally Superheater</i>	49,7601 kg/m <sup>3</sup>
$C_v$	Kalor Spesifik <i>Finally Superheater</i>	1,9279 kJ/kgK
$C_{vin}$	Kalor Spesifik Steam in	2,1203 kJ/kgK
$C_{vout}$	Kalor Spesifik Steam out	1,9279 kJ/kgK
$C_p$	Kalor Spesifik Water Spray	4,2995 kJ/kgK
$T_{spray}$	Temperatur Water Spray	444,88 °K
$P_{in}$	Pressure inlet	168.78 Kg/cm <sup>2</sup>
$P_{out}$	Pressure outlet	168.78 Kg/cm <sup>2</sup>
$P_{spray}$	Pressure water spray	216.8 Kg/cm <sup>2</sup>

### 3.2 Pemodelan

#### 3.2.1 Pemodelan Matematis *Plant Finally Superheater*

Untuk memodelkan *finally superheater* digunakan hukum kesetimbangan energi. Hukum ini menyatakan bahwa jumlah energi yang masuk kedalam sistem sebanding dengan jumlah energi yang keluar dari sistem serta energi yang terakumulasi dalam sistem itu sendiri [8].

Dengan menggunakan persamaan hukum kesetimbangan energi, maka model matematis pada *finally superheater* dapat dimodelkan sebagai berikut.

$$\begin{bmatrix} \text{Laju Perubahan} \\ \text{energi dalam} \\ \text{finally superheater} \end{bmatrix} = \begin{bmatrix} \text{Laju} \\ \text{Energi} \\ \text{input} \end{bmatrix} - \begin{bmatrix} \text{laju} \\ \text{Energi} \\ \text{output} \end{bmatrix}$$

Karena laju energi *input* terdapat 2 variabel yaitu laju energi *water spray* dan laju energi *steam input* maka persamaannya menjadi:

$$\frac{dE_{st}}{dt} = \dot{E}_{in} - \dot{E}_{out} + \dot{E}_{spray} \quad (3.1)$$

$$V \cdot \rho_v \cdot C_v \frac{dT_o}{dt} = \dot{m}_{in} \cdot C_{vin} \cdot T_{in} - \dot{m}_{out} \cdot C_{vout} \cdot T_{out} + \dot{m}_{spray} \cdot C_p \cdot T_{spray} \quad (3.2)$$

Dimana:

- $V$  = Volume *finally superheater* ( $\text{m}^3$ )
- $\rho_v$  = Densitas *steam* ( $\text{kg/m}^3$ )
- $\dot{m}_{in}$  = Mass flowrate *steam in* ( $\text{kg/s}$ )
- $\dot{m}_{out}$  = Mass flowrate *steam out* ( $\text{kg/s}$ )
- $\dot{m}_{spray}$  = Mass flowrate *water spray* ( $\text{kg/s}$ )
- $C_v$  = Kalor spesifik *finally superheater* ( $\text{kJ/kgK}$ )
- $C_{vin}$  = Kalor spesifik *steam in* ( $\text{kJ/kgK}$ )
- $C_{vout}$  = Kalor spesifik *steam out* ( $\text{kJ/kgK}$ )
- $C_p$  = Kalor spesifik *water spray* ( $\text{kJ/kgK}$ )
- $T_{in}$  = Temperatur *inlet* (K)
- $T_{out}$  = Temperatur *outlet* (K)
- $T_{spray}$  = Temperatur *water spray* (K)

Dari tabel 3.1 data pemodelan *plant finally superheater*, maka dapat disubtitusikan ke persamaan (3.2), sehingga persamaan tersebut menjadi seperti berikut:

$$40,30 \cdot 49,76 \cdot 1,93 \frac{dT_o}{dt} = 157,06 \cdot 2,12 \cdot T_{in} - 160,89 \cdot 1,93 \cdot T_{out} + \dot{m}_{spray} \cdot 4,30 \cdot 444,88 \quad (3.3)$$

$$3865,923 \frac{dT_o}{dt} = 333,012 T_{in} - 310,171 T_{out} + 1912,762 \dot{m}_{spray} \quad (3.4)$$

Kemudian persamaan diatas didekati dengan transformasi *Laplace*, sehingga menjadi:

$$3865,923 s T_{out}(s) = 333,012 T_{in}(s) - 310,171 T_{out}(s) + 1912,762 \dot{m}_{spray}(s) \quad (3.5)$$

$$3865,923 s T_{out}(s) + 310,171 T_{out}(s) = 333,012 T_{in}(s) + 1912,762 \dot{m}_{spray}(s) \quad (3.6)$$

$$12,4639 s T_{out}(s) + 1 T_{out}(s) = 1,0736 T_{in}(s) + 6,1668 \dot{m}_{spray}(s) \quad (3.7)$$

$$[12,4639 s + 1] T_{out}(s) = 1,0736 T_{in}(s) + 6,1668 \dot{m}_s(s) \quad (3.8)$$

Maka fungsi transfer *plant* yang menggambarkan perubahan temperatur *output finally superheater* terhadap perubahan laju aliran *waterspray* dan perubahan temperatur *input finally superheater* dapat dituliskan sebagai berikut.

$$T_{out}(s) = \left[ \frac{1,0736}{12,4639s+1} \right] T_{in}(s) + \left[ \frac{6,1668}{12,4639s+1} \right] \dot{m}_s(s) \quad (3.9)$$

### 3.2.2 Pemodelan Matematis Aktuator (FV-76-2)

Aktuator yang digunakan dalam sistem ini adalah *Control Valve* yang berfungsi untuk mengatur laju aliran dari *water spray* agar temperatur *output finally superheater* sesuai dengan *setpoint*. Model matematis *Control Valve* diperoleh dengan persamaan:

$$\frac{\dot{m}_s(S)}{U(S)} = \frac{K_v}{\tau S + 1} \quad (3.10)$$

Dimana:

$\dot{m}_s$  (s) = Manipulated variable berupa *flow water spray* (kg/s)

- $K_v$  = Gain *Control valve*  
 $U(s)$  = sinyal kontrol  
 $\tau$  = *Time constant*

Untuk menghitung *gain control valve* dengan menggunakan persamaan:

$$K_v = K_{i/p} \times K_{aktuuator} \quad (3.11)$$

$$K_{i/p} = \left( \frac{\text{Span Output}}{\text{Span Input}} \right) \quad (3.12)$$

$$K_{aktuuator} = \left( \frac{\dot{m}_b \text{ max} - \dot{m}_b \text{ min}}{\text{Span Output}} \right) \quad (3.13)$$

Adapun dari *data sheet* dari *control valve FV-76-2* didapatkan beberapa nilai seperti berikut. *Span input* adalah arus yang masuk dari kontroler yakni sinyal elektrik sebesar 4-20 mA, sedangkan *span output* adalah sinyal pneumatik 0,4-2 kg/cm<sup>2</sup>. Dalam hal ini, *control valve* memiliki masukkan sinyal berupa arus listrik lalu di ubah oleh I/P converter untuk menjadi tekanan pneumatik agar dapat menggerakkan *stem control valve*.

Fluida yang mengalir melalui *control valve* memiliki laju aliran minimum sebesar 0,6139 kg/s sedangkan untuk laju aliran maksimum sebesar 8,8889 kg/s. Maka perhitungan gain *control valve* adalah sebagai berikut.

$$K_{i/p} = \frac{(2-0,4) \text{ kg/cm}^2}{(20-4) \text{ mA}} = 0,1 \text{ kg/cm}^2 \cdot \text{mA} \quad (3.14)$$

$$K_{aktuuator} = \frac{(8,8889-0,6139) \text{ kg/s}}{(2-0,4) \text{ kg/cm}^2} = 5,1719 \text{ cm}^2/\text{s} \quad (3.15)$$

$$K_v = 0,1 \frac{\text{kg}}{\text{cm}^2 \cdot \text{mA}} \times 5,1719 \frac{\text{cm}^2}{\text{s}} = 0,5172 \text{ kg/s} \cdot \text{mA} \quad (3.16)$$

Nilai waktu konstan pada *control valve* adalah:

$$\tau = T_v(\Delta V + R_v) \quad (3.17)$$

Dimana  $\Delta V$  berupa fraksi perubahan *control valve*

$$\Delta V = \left( \frac{\dot{m}_b \text{ max} - \dot{m}_b \text{ min}}{\dot{m}_b \text{ max}} \right) = \frac{(8,8889 - 0,6139) \text{ kg/s}}{8,8889 \text{ kg/s}} = 0,93 \quad (3.18)$$

Sedangkan  $Rv$  merupakan perbandingan waktu konstan inheren dengan *time stroke*, bernilai 0,03 untuk aktuator diafragma. Untuk  $Tv = \frac{Yc}{CV}$ ,  $Yc$  merupakan faktor *stroking time control valve* dimana nilainya adalah 0,68 menurut Lee dan Choi 1999. Sedangkan dari data *sheet* nilai Cv sebesar 11,8 maka nilai waktu konstan aktuator adalah:

$$\tau = \frac{0,68}{11,8} (0,93 + 0,03) = 0,0554 \quad (3.19)$$

Sehingga, fungsi transfer *Control Valve* FV-76-2 adalah seperti berikut.

$$\frac{\dot{m}_s(s)}{U(s)} = \frac{0,5172}{0,0554 s + 1} \quad (3.20)$$

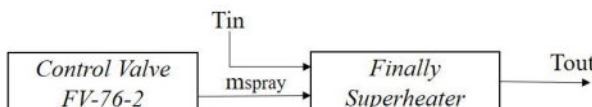
### 3.2.3 Pemodelan Matematis Sensor (TE-32-2)

Untuk *plant* pengendalian temperatur pada *finally superheater*, sensor dari *plant* adalah *thermocouple type E*, yaitu suatu alat yang berfungsi untuk mengukur temperatur pada *superheater* dengan memanfaatkan perbedaan tegangan yang terdiri dari dua kawat konduktor yang berbeda jenis dan digabungkan ujungnya. Satu jenis logam konduktor yang terdapat pada *thermocouple* akan berfungsi sebagai referensi dengan temperatur konstan (tetap) sedangkan yang satunya lagi sebagai logam konduktor yang mendeteksi temperatur panas.

Pemodelan pada sensor menggunakan nilai 1 agar nilai keluaran dari sensor menuju unit pengendali merepresentasikan nilai temperatur yang terukur [14].

### 3.3 Validasi Model

Validasi pemodelan dilakukan bertujuan untuk menguji model *plant* yang telah dibuat pada *simulink* di matlab R2014b untuk mengetahui apakah pemodelan tersebut sudah merepresentasikan keadaan *plant* yang sebenarnya di PLTU PT PJB Gresik Unit 4. Validasi dilakukan pada tanggal 2 Maret 2018 tiap satu jam dengan uji open loop fungsi transfer *finally superheater* terhadap laju aliran *water spray* yang diberikan dan temperatur yang masuk kedalam *finally superheater*. Diagram blok *open loop* validasi model akan ditunjukkan pada Gambar 3.2.



**Gambar 3.2 Skema Validasi Model**

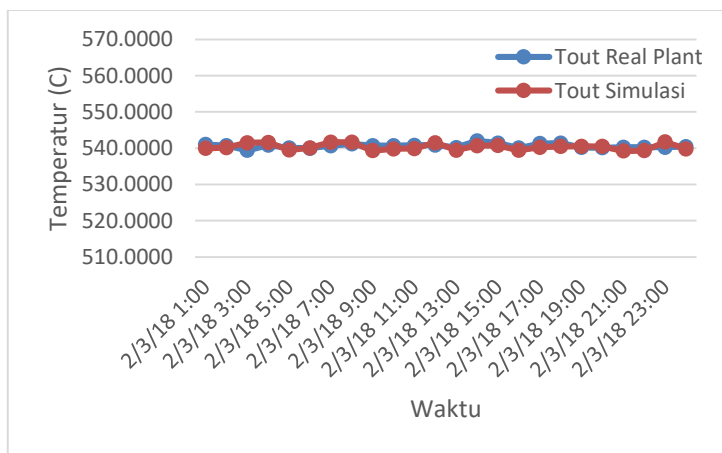
Pengujian dilakukan dengan memberikan besar laju aliran *water spray* yang berubah-ubah terhadap temperatur *input finally superheater*. Hasil pengujian akan di bandingkan dengan hasil *real plant* sehingga akan didapatkan hasil pengujian seperti pada tabel berikut ini.

**Tabel 3.2** Hasil Uji Validasi Temperatur *Finally Superheater*

Tgl Jam	Tout <i>real plant</i> (C)	Tout Simulasi (C)	error %
2/3/18 1:00	541.0178	539.9273	1.0903%
2/3/18 2:00	540.7061	540.1740	0.5337%
2/3/18 3:00	539.4280	541.4818	2.0866%
2/3/18 4:00	540.8299	541.5964	0.7678%
2/3/18 5:00	540.0936	539.4880	0.6112%
2/3/18 6:00	539.9809	540.0964	0.1167%
2/3/18 7:00	540.6862	541.6853	1.0022%
2/3/18 8:00	541.1883	541.6413	0.4522%
2/3/18 9:00	540.6862	539.3435	1.3469%

**Tabel 3.2** Hasil Uji Validasi Temperatur *Finally Superheater* (lanjutan)

Tgl Jam	Tout <i>real plant</i> (C)	Tout Simulasi (C)	error %
2/3/18 10:00	540.6908	539.8324	0.8611%
2/3/18 11:00	540.7851	539.8922	0.8948%
2/3/18 12:00	540.8685	541.4862	0.6185%
2/3/18 13:00	540.1854	539.4819	0.7092%
2/3/18 14:00	542.0054	540.6742	1.3180%
2/3/18 15:00	541.3929	540.7545	0.6359%
2/3/18 16:00	540.0342	539.4347	0.6054%
2/3/18 17:00	541.2748	540.2348	1.0372%
2/3/18 18:00	541.4186	540.4608	0.9538%
2/3/18 19:00	540.1890	540.5302	0.3440%
2/3/18 20:00	540.1119	540.4865	0.3780%
2/3/18 21:00	540.2556	539.2582	1.0048%
2/3/18 22:00	540.2468	539.3368	0.9169%
2/3/18 23:00	540.2579	541.7316	1.4847%
3/3/18 0:00	540.4216	539.8074	0.6178%

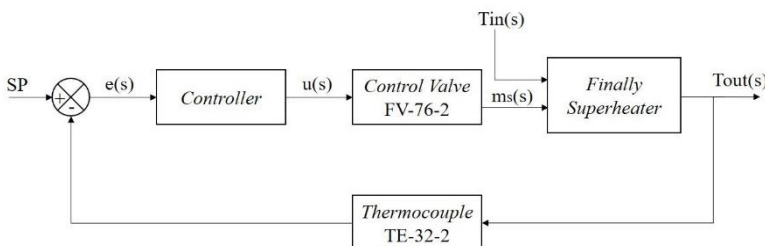


**Gambar 3.3** Grafik Respon Hasil Uji Validasi Temperatur *Finally Superheater*

Grafik respon validasi model ditunjukkan pada Gambar 3.3. Hasil uji validasi tersebut dapat diperoleh rata-rata *error pemodelan* tersebut  $\leq 2\%$ , sehingga pemodelan tersebut sudah dapat dikatakan *valid*. Untuk skema perancangan *open loop* dapat dilihat di Lampiran C.

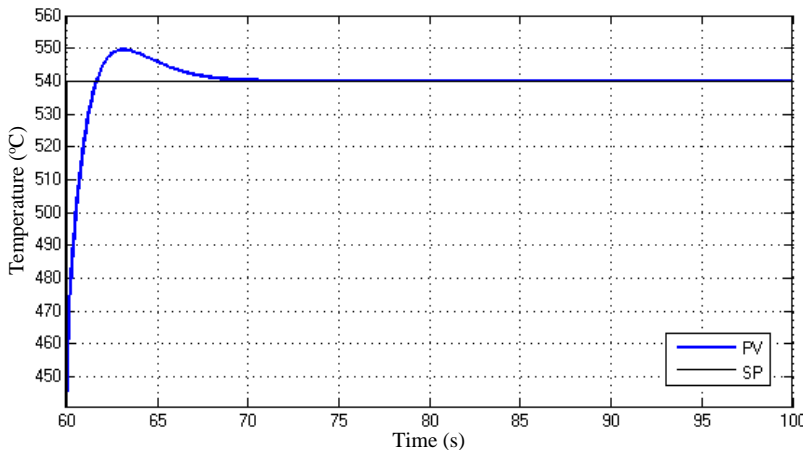
### 3.4 Perancangan Kontroler PID

Pengendalian temperatur pada *finally superheater* menggunakan pengendalian *feedback* dengan algoritma PID. Pada pengendalian jenis *feedback* digunakan *thermocouple* untuk mengukur nilai proses yang dikendalikan sebagai pembanding dengan *setpoint*. Untuk menentukan *gain* pengendali PID menggunakan metode *trial and error* hingga memenuhi kriteria *error steady state*  $\leq \pm 2^\circ\text{C}$  (0,37%). Pada sistem ini didapatkan bahwa nilai  $K_p$  sebesar 6.0035,  $K_i$  sebesar 2.3263 dan  $K_d$  sebesar 1.1173. Setelah itu sistem disimulasikan dengan menggunakan *software Matlab* (2014a) dengan skema seperti Gambar 3.4.



**Gambar 3.4** Skema Diagram Blok Perancangan Kontroler PID

Berdasarkan Gambar 3.4 *setpoint* yang digunakan adalah besaran temperatur dalam derajat celcius. *Output* dari *finally superheater* berupa temperatur *output* dalam derajat celcius. Berikut merupakan respon sistem ketika diberikan *setpoint* sebesar 540 °C.



**Gambar 3.5** Grafik Respon Perancangan Kontroler PID

Dari grafik respon sistem tersebut dapat diketahui karakteristik respon sistem yakni *settling time* sebesar 12 detik, *maximum overshoot* sebesar 9.64% serta *error steady state* sistem sebesar 0.0057%. Hasil ini sudah memenuhi kriteria performansi kontrol yang diinginkan yaitu  $ess \leq \pm 2^\circ\text{C}$  (0,37%) dan respon sudah stabil di *setpoint*. Untuk skema perancangan *close loop* dengan *software Matlab* dapat dilihat di Lampiran D.

### 3.5 Perancangan Active Fault Tolerant Control (AFTC)

Perancangan *Active Fault Tolerant Control* (AFTC) terdiri dari dua tahap, yakni perancangan *observer* dan rekonfigurasi kontrol.

#### 3.5.1 Perancangan *Observer*

*Observer* berfungsi untuk mendeteksi perubahan akibat kesalahan yang terjadi pada sensor *thermocouple*. Langkah pertama dalam merancang *observer* adalah merubah fungsi transfer sistem ke dalam bentuk matriks ruang keadaan, persamaan hasil representasi perhitungan dari Gambar 3.5 dijelaskan pada persamaan (3.21) dan (3.22).

$$T_{out}(s) = \left[ \frac{1,0736}{12,4639s+1} \right] T_{in}(s) + \left[ \frac{6,1668}{12,4639s+1} \right] \dot{m}_s(s) \quad (3.21)$$

$$\frac{\dot{m}_s(s)}{U(s)} = \frac{0,5172}{0,0554 s + 1} \quad (3.22)$$

Pada persamaan (3.21) dan (3.22) di *invers laplace* sehingga hasilnya dapat berubah ke domain waktu seperti yang tertera pada persamaan (3.23) dan (3.24) agar bisa didapatkan nilai dari persamaan ruang keadaan.

- Fungsi transfer *plant*

$$T_{out}(s) = \left[ \frac{1,0736}{12,4639s+1} \right] T_{in}(s) + \left[ \frac{6,1668}{12,4639s+1} \right] \dot{m}_s(s)$$

$$T_{out}(s)(12,4639s + 1) = 1,0736 T_{in}(s) + 6,1668 \dot{m}_s(s)$$

$$12,4639s T_{out}(s) + T_{out}(s) = 1,0736 T_{in}(s) + 6,1668 \dot{m}_s(s)$$

$$12,4639s T_{out}(s) = 1,0736 T_{in}(s) + 6,1668 \dot{m}_s(s) - T_{out}(s)$$

$$s T_{out}(s) = \frac{1,0736}{12,4639} T_{in}(s) + \frac{6,1668}{12,4639} \dot{m}_s(s) - \frac{1}{12,4639} T_{out}(s)$$

$$\begin{aligned} \frac{dT_{out}(t)}{dt} &= 0,0861 T_{in}(t) + 0,4948 \dot{m}_s(t) \\ &\quad - 0,0802 T_{out}(t) \end{aligned} \quad (3.23)$$

- Fungsi transfer aktuator

$$\frac{\dot{m}_s(s)}{U(s)} = \frac{0,5172}{0,0554 s + 1}$$

$$\dot{m}_s(s)(0,0554 s + 1) = 0,5172 U(s)$$

$$0,0554 s \dot{m}_s(s) + \dot{m}_s(s) = 0,5172 U(s)$$

$$0,0554 s \dot{m}_s(s) = 0,5172 U(s) - \dot{m}_s(s)$$

$$s \dot{m}_s(s) = \frac{0,5172}{0,0554} U(s) - \frac{1}{0,0554} \dot{m}_s(s)$$

$$\frac{d\dot{m}_s(t)}{dt} = 9,3357 u(t) - 18,0505 \dot{m}_s(t) \quad (3.24)$$

Dari kedua persamaan diatas (3.23) dan (3.24) dibuat kedalam bentuk matriks ruang keadaan seperti berikut ini.

$$\dot{x}(t) = Ax(t) + Bu(t) \quad (3.25)$$

$$y(t) = Cx(t) + Du(t) \quad (3.26)$$

Sehingga,

$$\begin{bmatrix} \frac{dT_{out}(t)}{dt} \\ \frac{d\dot{m}_s(t)}{dt} \end{bmatrix} = \begin{bmatrix} -0,0802 & 0,4948 \\ 0 & -18,0505 \end{bmatrix} \begin{bmatrix} T_{out}(t) \\ \dot{m}_s(t) \end{bmatrix} + \begin{bmatrix} 0,0861 & 0 \\ 0 & 9,3357 \end{bmatrix} \begin{bmatrix} T_{in}(t) \\ u(t) \end{bmatrix} \quad (3.27)$$

$$\begin{bmatrix} T_{out}(t) \\ \dot{m}_s(t) \end{bmatrix} = \begin{bmatrix} 1 & 0 \\ 0 & 1 \end{bmatrix} \begin{bmatrix} T_{out}(t) \\ \dot{m}_s(t) \end{bmatrix} \quad (3.28)$$

Dari Persamaan diatas (3.25) dan (3.26) dapat diketahui nilai matriks A, B, C, D. Matriks A merupakan matriks yang menyatakan *state* sistem. Berdasarkan penjabaran dari fungsi transfer *plant* dan aktuator tersebut, maka matriks A bernilai:

$$A = \begin{bmatrix} -0,0802 & 0,4948 \\ 0 & -18,0505 \end{bmatrix}$$

Matriks B merupakan matriks yang menyatakan *input* kontrol sistem. sehingga matriks B bernilai:

$$B = \begin{bmatrix} 0,0861 & 0 \\ 0 & 9,3357 \end{bmatrix}$$

Matriks  $C$  merupakan matriks *output* sistem dan merupakan matriks identitas sehingga matriks  $C$  bernilai:

$$C = \begin{bmatrix} 1 & 0 \\ 0 & 1 \end{bmatrix}$$

Matriks  $D$  merupakan matriks yang menyatakan *noise* sistem, jika diasumsikan tidak terjadi *noise* maka matriks  $D$  bernilai:

$$D = 0$$

Matriks kesalahan terdapat dua macam, yakni kesalahan aktuator ( $F_a$ ) dan kesalahan sensor ( $F_s$ ). Dalam tugas akhir ini hanya dianalisa kesalahan sensor, sehingga matriks  $F_s$  bernilai:

$$F_s = \begin{bmatrix} 1 \\ 0 \end{bmatrix}$$

Untuk mengkompensasi kesalahan sensor maka diperlukan modifikasi algoritma *observer* baru, seperti pada persamaan berikut ini.

$$\dot{x}(t) = Ax(t) + Bu(t) \quad (3.29)$$

$$y(t) = Cx(t) + Du(t) + F_s f_s(t) \quad (3.30)$$

Kemudian *state* baru  $\dot{z}(t)$  ditambahkan untuk memindahkan kesalahan sensor dari persamaan keluaran ke persamaan keadaan, persamaan tersebut dapat didefinisikan persamaan baru sebagai berikut.

$$\dot{z}(t) = Az(y(t) - z(t)) \quad (3.31)$$

$$\dot{z}(t) = Az(Cx(t) + F_s f_s(t) - z(t)) \quad (3.32)$$

$$\dot{z}(t) = Az.Cx(t) + Az.F_s f_s(t) - Az.z(t) \quad (3.33)$$

Untuk  $Az$  merupakan matriks identitas ( $I$ ),  $Az \in I^q$ . Agar dapat mendefinisikan matriks kesalahan sensor, maka bentuk dari matriks ruang keadaan dapat diekspansi menjadi seperti berikut.

$$\begin{cases} \dot{X_a}(t) = A_a x_a(t) + B_a u(t) + E_a f_s(t) \\ y(t) = C_a x_a(t) \end{cases} \quad (3.34)$$

$$\begin{bmatrix} \dot{x}(t) \\ \dot{z}(t) \end{bmatrix} = \begin{bmatrix} A & 0 \\ Az \cdot C & -Az \end{bmatrix} \begin{bmatrix} x(t) \\ z(t) \end{bmatrix} + \begin{bmatrix} B \\ 0 \end{bmatrix} u(t) + \begin{bmatrix} 0 \\ Az \cdot F_s \end{bmatrix} f_s(t) \quad (3.35)$$

$$y(t) = [0 \quad C] \begin{bmatrix} x(t) \\ z(t) \end{bmatrix} \quad (3.36)$$

Sehingga didapatkan,

$$Aa = \begin{bmatrix} A & 0 \\ Az \cdot C & -Az \end{bmatrix} = \begin{bmatrix} -0,0802 & 0,04948 & 0 & 0 \\ 0 & -18,0505 & 0 & 0 \\ 1 & 0 & -1 & 0 \\ 0 & 1 & 0 & -1 \end{bmatrix}$$

$$Ba = \begin{bmatrix} B \\ 0 \end{bmatrix} = \begin{bmatrix} 0,0861 & 0 \\ 0 & 9,3357 \\ 0 & 0 \\ 0 & 0 \end{bmatrix}$$

$$Ca = [0 \quad C] = \begin{bmatrix} 0 & 0 & 1 & 0 \\ 0 & 0 & 0 & 1 \end{bmatrix}$$

$$Ea = \begin{bmatrix} 0 \\ Az \cdot F_s \end{bmatrix} = \begin{bmatrix} 0 \\ 0 \\ 1 \\ 0 \end{bmatrix}$$

Untuk memperoleh nilai *gain observer*, maka ditambahkan *state* yang mengandung *gain* agar dapat mengestimasi kesalahan sensor, sehingga ekspansi matriks ruang keadaan baru yang ditunjukkan pada persamaan berikut.

$$\left\{ \begin{array}{l} \dot{\hat{X}}(t) = A_a \hat{X} + B_a u + E_a \hat{f}_s + L_x(Y - \hat{Y}) \\ \dot{\hat{f}}_s = L_f(Y - \hat{Y}) \\ \hat{Y} = C_a \hat{X} \end{array} \right. \quad (3.37)$$

Sehingga dari persamaan diatas jika diubah kedalam bentuk yang lebih ringkas akan menjadi sebagai berikut.

$$\begin{bmatrix} \dot{\hat{x}}(t) \\ \dot{\hat{f}}(t) \end{bmatrix} = \begin{bmatrix} Aa & Ea \\ 0 & 0 \end{bmatrix} \begin{bmatrix} \hat{x} \\ \hat{f}_s \end{bmatrix} + \begin{bmatrix} Ba \\ 0 \end{bmatrix} u + \begin{bmatrix} L_x \\ L_f \end{bmatrix} [Ca \quad 0](Y - \hat{Y}) \quad (3.38)$$

$$\hat{Y} = [Ca \quad 0] \begin{bmatrix} \hat{x} \\ \hat{f}_s \end{bmatrix} \quad (3.39)$$

Dari bentuk (3.38) dan (3.39) dapat diubah menjadi persamaan keadaan dan persamaan keluaran *observer*, sebagai berikut.

$$\hat{x}(t) = \tilde{A}_a \hat{x}(t) + \tilde{B}_a u(t) + \tilde{K}_e(\tilde{y}(t) - \hat{y}(t)) \quad (3.40)$$

$$\hat{y}(t) = \tilde{C}_a \hat{x}(t) \quad (3.41)$$

Dengan mensubtitusikan nilai matriks  $Aa$ ,  $Ca$  dan  $Ea$ , diperoleh nilai matriks  $\tilde{A}_a$  dan  $\tilde{C}_a$  sebagai berikut.

$$\tilde{A}a = \begin{bmatrix} Aa & Ea \\ 0 & 0 \end{bmatrix} = \begin{bmatrix} -0,0802 & 0,4948 & 0 & 0 & 0 \\ 0 & -18,0505 & 0 & 0 & 0 \\ 1 & 0 & -1 & 0 & 1 \\ 0 & 1 & 0 & -1 & 0 \\ 0 & 0 & 0 & 0 & 0 \end{bmatrix}$$

$$\tilde{C}_a = [Ca \quad 0] = \begin{bmatrix} 0 & 0 & 1 & 0 & 0 \\ 0 & 0 & 0 & 1 & 0 \end{bmatrix}$$

Untuk dapat menyelesaikan *Observer* maka diperlukan pemilihan dari nilai *pole*, nilai *pole* sistem yang dipakai adalah

$$\begin{aligned} p1 &= -17.1562 + 0.0000i \\ p2 &= -0.6413 + 1.7785i \\ p3 &= -0.6413 - 1.7785i \\ p4 &= -0.0728 + 0.0000i \\ p5 &= -0.9847 + 0.0000i \end{aligned}$$

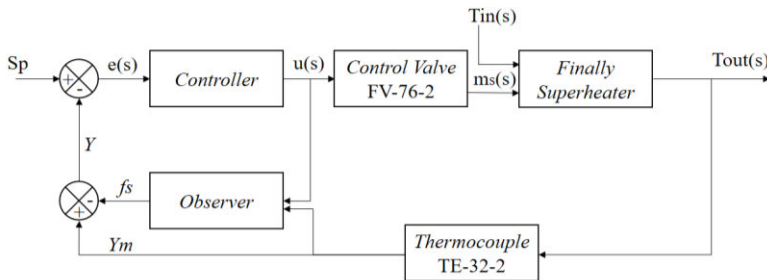
Dari nilai *pole placement* diatas secara otomatis dengan menggunakan perangkat lunak *Matlab R2014b* dengan *syntax* “*place*” didapatkan nilai *gain observer* bernilai sebagai berikut.

$$Ke = \begin{bmatrix} 0,2780 & -0,3502 \\ 0,1374 & 15,2963 \\ 0,3130 & 0,5296 \\ -0,6233 & -0,9474 \\ 2,9692 & 0,5918 \end{bmatrix}$$

Untuk skema perancangan *observer* dapat dilihat di Lampiran G dan untuk *syntax* perancangan *observer* di Lampiran F.

### 3.5.2 Perancangan Rekonfigurasi Kontrol

Rekonfigurasi kontrol merupakan tahap akhir untuk merancang AFTC yang bertujuan untuk mengembalikan kestabilan sistem ketika terjadi kesalahan sehingga plant tetap dapat beroperasi dalam kondisi normal. Perancangan skema AFTC dibentuk dari *gain observer* yang telah didapatkan dari sub-bab 3.5.1 dan skema rekonfigurasi kontrol ditunjukkan pada gambar berikut ini. Untuk skema perancangan rekonfigurasi kontrol dapat dilihat di Lampiran H.



**Gambar 3.6** Skema Perancangan Rekonfigurasi Kontrol

Rekonfigurasi kontrol ini dilakukan dengan menambahkan sinyal kontrol berupa  $Y$ . Nilai  $Y$  ini didapatkan dari perhitungan sebagai berikut:

$$Y = Y_m - f_s \quad (3.42)$$

Dimana:

$Y$  = Nilai sebenarnya

$Y_m$  = Nilai hasil pengukuran

$f_s$  = Nilai hasil estimasi *fault*

### 3.6 Uji Performansi

Uji performansi dilakukan untuk menguji algoritma AFTC yang telah dibuat dapat berjalan dengan baik atau tidak. Uji ini dilakukan dengan memberikan suatu kesalahan pada sensor. Kesalahan yang diberikan berupa kesalahan bias dan sensitivitas. Kesalahan bias disimulasikan sebesar  $\pm 0,32\%$  sedangkan kesalahan sensitivitas disimulasikan sebesar 1%, 2%, 5%, 8% dan 15%.

## **BAB IV**

### **ANALISA DATA DAN PEMBAHASAN**

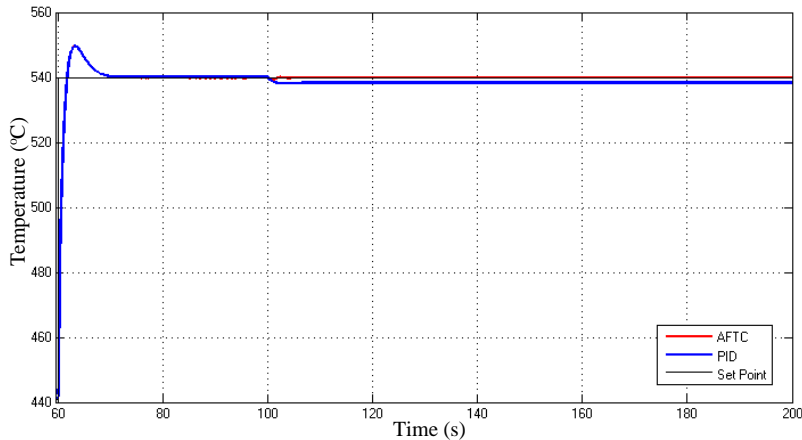
Pada bab ini akan dijabarkan hasil perancangan *Active Fault Tolerant Control* (AFTC) pada sistem pengendalian temperatur pada *finally superheater* yang telah dilakukan dan disimulasikan dengan software MATLAB R2014a untuk selanjutnya dilakukan uji performansi sistem. Uji performansi sistem dilakukan guna mengetahui algoritma AFTC yang telah dibuat dapat bekerja dengan baik atau tidak untuk menolerir kesalahan pada sensor *thermocouple*. Kesalahan sensor yang diberikan berupa kesalahan bias dan sensitivitas. Parameter yang digunakan untuk menilai performansi sistem pengendalian diantaranya adalah *maximum overshoot*, *settling time* dan *error steady state*. Penilaian terhadap uji dilakukan pada kondisi saat diberikan kesalahan yakni pada detik ke-100.

#### **4.1 Uji Kesalahan Bias**

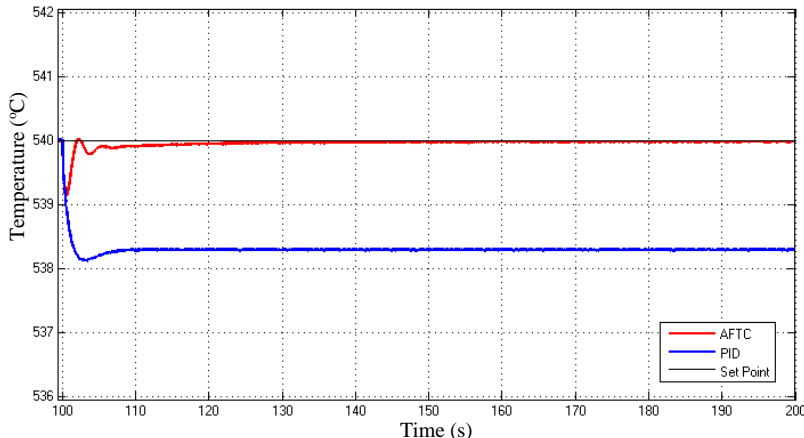
Untuk menguji performansi dari sistem pengendalian temperatur maka diberikan kesalahan pada sensor *thermocouple* berupa kesalahan bias. Bias merupakan penyimpangan nilai dari nilai tetapan yang telah ditentukan. Bias dalam pengukuran juga bisa disebut dengan nilai *error* sistematik. *Error* sistematik mendeskripsikan *error* pada pembacaan *output* sistem pengukuran yang secara konsisten (*error steady state*) pada satu sisi pembacaan yang benar, yaitu seluruh *error* adalah positif atau seluruh *error* adalah negatif [15]. Semakin kecil nilai biasnya maka nilai *error steady state* juga semakin kecil begitupun sebaliknya. Nilai bias yang diberikan pada uji ini adalah  $\pm 0,32\%$  dari span pengukuran *thermocouple*. Nilai tersebut merupakan standar nilai kesalahan bias yang diperbolehkan pada PLTU PT PJB Gresik. Kesalahan Bias diberikan pada detik ke-100. Hasil respon sistem dengan kesalahan bias dapat dilihat pada gambar berikut.

#### 4.1.1 Uji Kesalahan Bias +0,32%

Hasil uji respon sistem terhadap kesalahan ditinjau pada kondisi saat terjadi kesalahan (*fault*) pada detik ke-100.



**Gambar 4.1** Respon Sistem Pengendalian dengan Kesalahan Bias +0,32%



**Gambar 4.2** Perbesaran Respon Pengendalian Sistem dengan Kesalahan Bias +0,32%

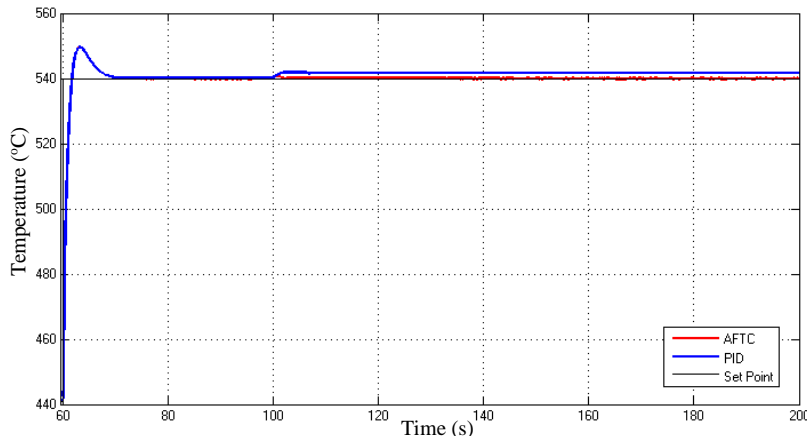
**Tabel 4.1** Parameter Performansi dengan Kesalahan Bias +0,32%

No	Parameter	AFTC	PID
1	<i>Maximum undershoot</i>	0,1574 %	0,3463 %
2	<i>Settling Time</i>	15 detik	10 detik
3	<i>Error steady state</i>	0,0035 %	0,3155 %

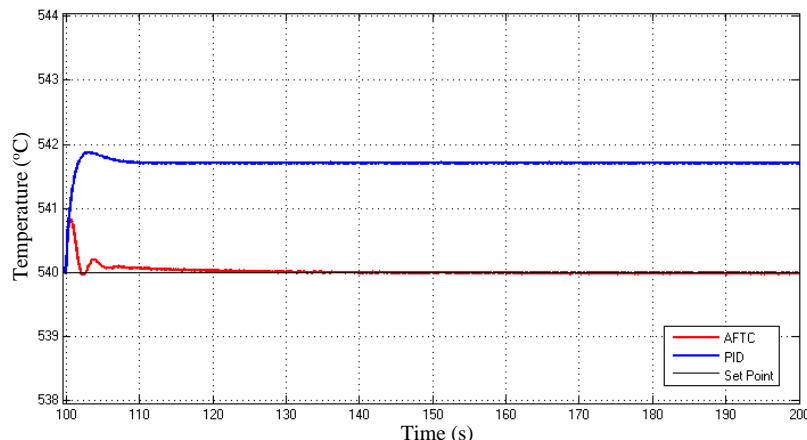
Pada Gambar 4.1 dan 4.2 serta parameter performansi pada tabel 4.1, terlihat bahwa dalam mengatasi kesalahan bias sebesar +0,32% respon sistem pengendali dengan algoritma AFTC lebih baik daripada respon sistem pengendali PID tanpa algoritma AFTC. Dari segi parameter performansi sistem, *maximum undershoot* saat dikenai kesalahan bias +0,32% dengan algoritma AFTC sebesar 0,1574% sedangkan dengan algoritma PID saja tanpa AFTC sebesar 0,3463%. Untuk waktu menuju *steady (settling time)* saat dikenai kesalahan bias +0,32% memiliki *settling time* sebesar 15 detik dengan algoritma AFTC dan memiliki *error steady state* sebesar 0,0035%. Sedangkan tanpa algoritma AFTC memiliki *settling time* lebih cepat yaitu sebesar 10 detik tetapi tidak dapat menolerir kesalahan yang terjadi dan memiliki *error steady state* yang lebih besar dibandingkan dengan algoritma AFTC yakni sebesar 0,3155%.

#### 4.1.2 Uji Kesalahan Bias -0,32%

Hasil uji respon sistem terhadap kesalahan akan ditinjau pada kondisi saat terjadi kesalahan (*fault*) pada detik ke-100.



**Gambar 4.3** Respon Sistem Pengendalian dengan Kesalahan Bias -0,32%



**Gambar 4.4** Perbesaran Respon Sistem Pengendalian dengan Kesalahan Bias -0,32%

**Tabel 4.2** Parameter Performansi dengan Kesalahan Bias -0,32%

No	Parameter	AFTC	PID
1	<i>Maximum overshoot</i>	0,1550 %	0,3481 %
2	<i>Settling Time</i>	20 detik	10 detik
3	<i>Error steady state</i>	0,0024 %	0,3151 %

Pada Gambar 4.3 dan 4.4 serta parameter performansi pada tabel 4.2, terlihat bahwa dalam mengatasi kesalahan bias sebesar -0,32% respon sistem pengendali dengan algoritma AFTC lebih baik daripada respon sistem pengendali PID tanpa algoritma AFTC. Dapat dilihat pada tabel 4.2, *maximum overshoot* saat dikenai kesalahan bias -0,32% dengan algoritma AFTC sebesar 0,1550% sedangkan dengan algoritma PID tanpa AFTC sebesar 0,3481%. Untuk waktu menuju *steady (settling time)* saat dikenai kesalahan bias -0,32% memiliki *settling time* sebesar 20 detik dengan algoritma AFTC yang memiliki *error steady state* sebesar 0,0024%. Sedangkan tanpa algoritma AFTC lebih cepat yaitu sebesar 10 detik tetapi memiliki *error steady state* yang lebih besar yaitu 0,3151% dan tidak bisa menolerir kesalahan yang terjadi.

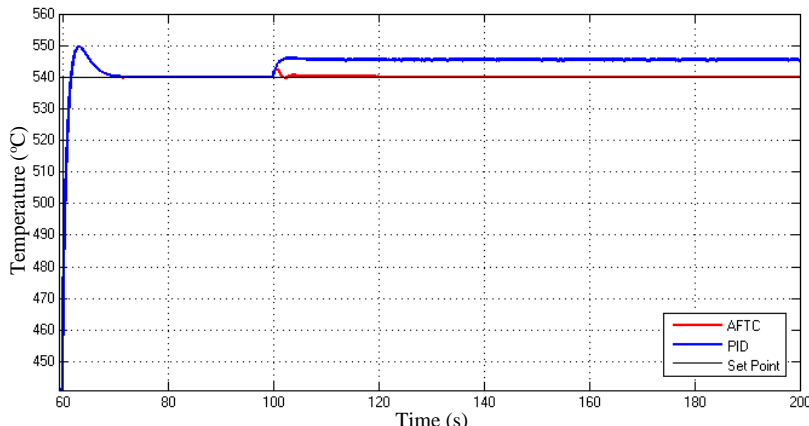
Dari segi parameter performansi sistem diatas saat dikenai kesalahan bias  $\pm 0,32\%$ , sistem pengendalian dengan algoritma AFTC memiliki rata-rata *settling time* yang lebih lama dibandingkan tanpa algoritma AFTC, tetapi dengan algoritma AFTC dapat menolerir kesalahan sensor dibandingkan dengan PID tanpa algoritma AFTC tidak dapat menolerir kesalahan dari sensor, dan juga dapat dilihat bahwa rata-rata nilai *maximum undershoot*, *maximum overshoot* maupun *error steady state* memiliki nilai yang lebih kecil dibandingkan sistem pengendali tanpa algoritma AFTC. Hal ini dapat dikarenakan oleh adanya rekonfigurasi kontrol untuk mengatasi kesalahan yang disebabkan oleh kesalahan sensor temperatur. Maka dari itu, sistem pengendali yang menggunakan algoritma AFTC memiliki performansi yang lebih baik dan dapat menolerir kesalahan sensor dibandingkan dengan sistem pengendalian tanpa menggunakan algoritma AFTC.

## 4.2 Uji Kesalahan Sensitivitas

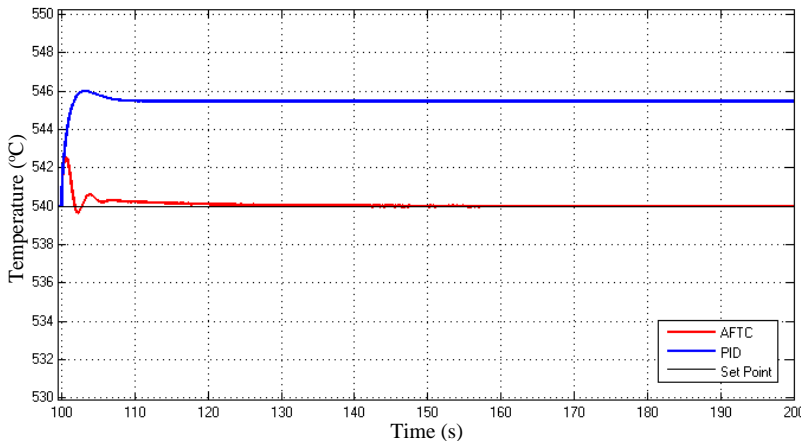
Sensitivitas berkaitan dengan seberapa peka sebuah sensor menanggapi *input* berupa variabel fisis untuk dikeluarkan dalam rupa nilai yang dapat diolah. Semakin besar nilai sensitivitas sensor, maka semakin baik kinerja sensor tersebut. Kesalahan sensitivitas adalah kesalahan nilai keluaran sensor karena kurang sensitifnya sensor sehingga sensor tidak memberikan sinyal keluaran sebesar yang seharusnya dikeluarkan [3]. Untuk uji kesalahan sensitivitas ini diberikan kesalahan sebesar 1%, 2%, 5%, 8% dan 15% dari *output* sensor temperatur.

### 4.2.1 Uji Kesalahan Sensitivitas 1%

Hasil uji respon sistem terhadap kesalahan ditinjau pada kondisi saat terjadi kesalahan (*fault*) pada detik ke-100.



**Gambar 4.5** Respon Sistem Pengendalian dengan Kesalahan Sensitivitas 1%



**Gambar 4.6** Perbesaran Respon Sistem Pengendalian dengan Kesalahan Sensitivitas 1%

**Tabel 4.3** Parameter Performansi dengan Kesalahan Sensitivitas 1%

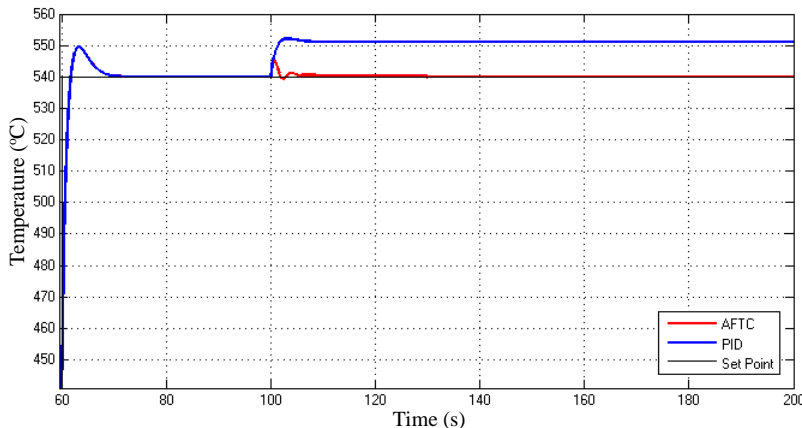
No	Parameter	AFTC	PID
1	<i>Maximum overshoot</i>	0,4630 %	1,1111 %
2	<i>Settling Time</i>	38 detik	11 detik
3	<i>Error steady state</i>	0,0037 %	1,0185 %

Pada gambar 4.5 dan 4.6 serta tabel 4.3 menunjukkan respon sistem ketika diberi kesalahan sensitivitas 1%, dimana kesalahan sensitivitas 1% berarti sensor kehilangan 1% dari sinyal *outputnya*. Dari parameter performansi diatas, *maximum overshoot* yang terjadi pada pengendali dengan algoritma AFTC lebih kecil dari pengendali PID tanpa menggunakan AFTC saat dikenai kesalahan yakni sebesar 0,4630% lebih kecil dari PID biasa sebesar 1,1111%. Waktu untuk mencapai keadaan *steady (settling time)* dengan algoritma AFTC yakni sebesar 38 detik untuk mencapai temperatur yang diinginkan  $\pm 540^{\circ}\text{C}$  saat terjadi kesalahan sensitivitas 1%, dibandingkan dengan algoritma PID tanpa AFTC memiliki *settling time* yang lebih cepat, yaitu sebesar 11 detik tetapi tidak dapat menolerir kesalahan sehingga

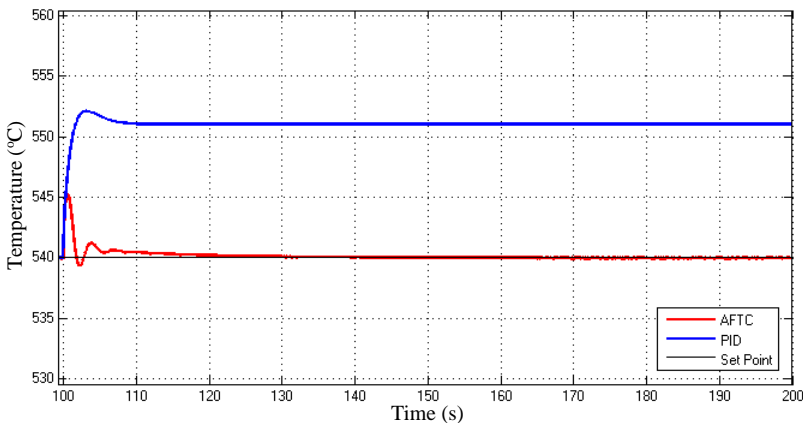
respon sistem *steady* pada temperatur  $\pm 545,5^{\circ}\text{C}$  maka didapatkan *error steady state* sebesar 1,0185%. Hasil tersebut lebih besar dari pengendali dengan algoritma AFTC yang hanya memiliki *error steady* sebesar 0,0037%. Hal ini membuktikan bahwa pengendali PID tanpa algoritma AFTC tidak mampu kembali menuju *setpoint* semula sedangkan dengan algoritma AFTC dapat meningkatkan performansi dari suatu sistem dan dapat menolerir kesalahan sensor.

#### 4.2.2 Uji Kesalahan Sensitivitas 2%

Hasil uji respon sistem terhadap kesalahan ditinjau pada kondisi saat terjadi kesalahan (*fault*) pada detik ke-100.



**Gambar 4.7** Respon Sistem Pengendalian dengan Kesalahan Sensitivitas 2%



**Gambar 4.8** Perbesaran Respon Sistem Pengendalian dengan Kesalahan Sensitivitas 2%

**Tabel 4.4** Parameter Performansi dengan Kesalahan Sensitivitas 2%

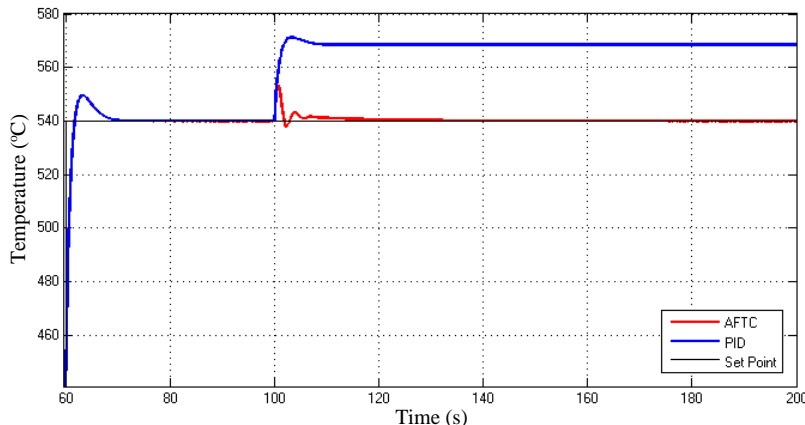
No	Parameter	AFTC	PID
1	<i>Maximum overshoot</i>	0,9907 %	2,2593 %
2	<i>Settling Time</i>	55 detik	11 detik
3	<i>Error steady state</i>	0,0014 %	2,0370 %

Pada gambar 4.7 dan 4.8 serta tabel 4.4 menunjukkan respon sistem ketika diberi kesalahan sensitivitas 2%, dimana kesalahan sensitivitas 2% berarti sensor kehilangan 2% dari sinyal *outputnya*. Dari parameter performansi diatas, *maximum overshoot* yang terjadi pada pengendali dengan algoritma AFTC lebih kecil dari pengendali PID tanpa menggunakan AFTC saat dikenai kesalahan yakni sebesar 0,9907% lebih kecil dari PID biasa sebesar 2,2593%. Waktu untuk mencapai keadaan *steady (settling time)* dengan algoritma AFTC yakni sebesar 55 detik untuk mencapai temperatur yang diinginkan  $\pm 540^{\circ}\text{C}$  saat terjadi kesalahan sensitivitas 2%, dibandingkan dengan algoritma PID tanpa AFTC memiliki *settling time* yang lebih cepat, yaitu sebesar 11 detik tetapi tidak dapat menolerir kesalahan sehingga

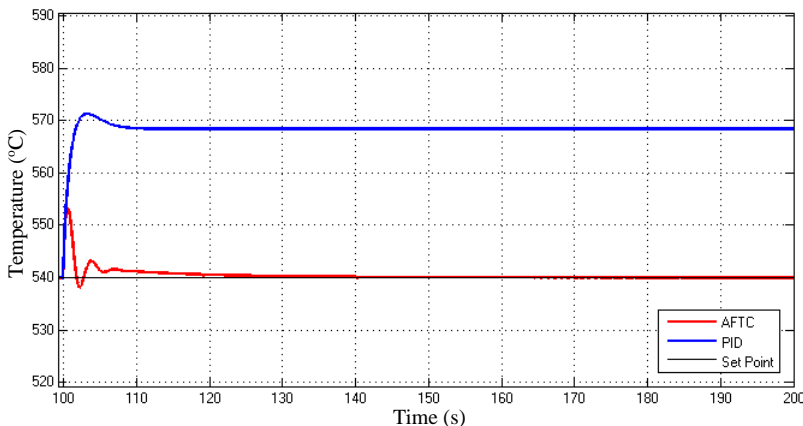
respon sistem *steady* pada temperatur  $\pm 551^\circ\text{C}$  maka didapatkan *error steady state* sebesar 2,0370%. Hasil tersebut lebih besar dari pengendali dengan algoritma AFTC yang hanya memiliki *error steady* sebesar 0,0014%. Hal ini membuktikan bahwa pengendali PID tanpa algoritma AFTC tidak mampu kembali menuju *setpoint* semula sedangkan dengan algoritma AFTC dapat meningkatkan performansi dari suatu sistem dan dapat menolerir kesalahan sensor.

#### 4.2.3 Uji Kesalahan Sensitivitas 5%

Hasil uji respon sistem terhadap kesalahan ditinjau pada kondisi saat terjadi kesalahan (*fault*) pada detik ke-100.



**Gambar 4.9** Respon Sistem Pengendalian dengan Kesalahan Sensitivitas 5%



**Gambar 4.10** Perbesaran Respon Sistem Pengendalian dengan Kesalahan Sensitivitas 5%

**Tabel 4.5** Parameter Performansi dengan Kesalahan Sensitivitas 5%

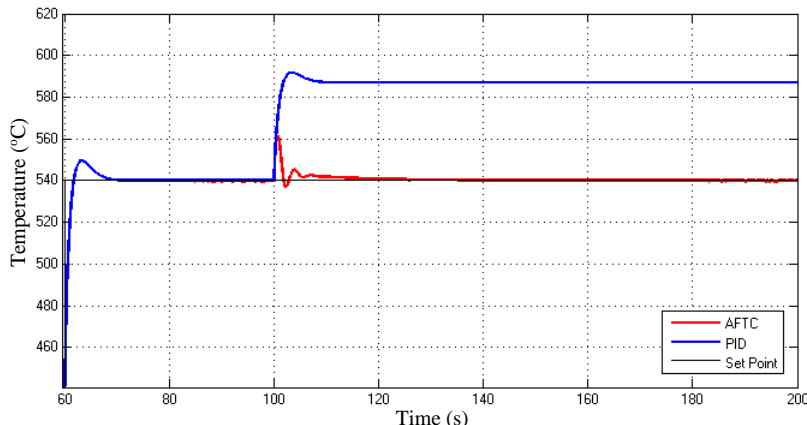
No	Parameter	AFTC	PID
1	<i>Maximum overshoot</i>	2,5006 %	5,7870 %
2	<i>Settling Time</i>	71 detik	12 detik
3	<i>Error steady state</i>	0,0037 %	5,2630 %

Pada gambar 4.9 dan 4.10 serta tabel 4.5 menunjukkan respon sistem ketika diberi kesalahan sensitivitas 5%, dimana kesalahan sensitivitas 5% berarti sensor kehilangan 5% dari sinyal *outputnya*. Dari parameter performansi diatas, *maximum overshoot* yang terjadi pada pengendali dengan algoritma AFTC lebih kecil dari pengendali PID tanpa menggunakan AFTC saat dikenai kesalahan yakni sebesar 2,5006% lebih kecil dari PID biasa sebesar 5,7870%. Waktu untuk mencapai keadaan *steady (settling time)* dengan algoritma AFTC yakni sebesar 71 detik untuk mencapai temperatur yang diinginkan  $\pm 540^{\circ}\text{C}$  saat terjadi kesalahan sensitivitas 5%, dibandingkan dengan algoritma PID tanpa AFTC memiliki *settling time* yang lebih cepat, yaitu sebesar 12 detik tetapi algoritma PID tanpa AFTC tidak dapat

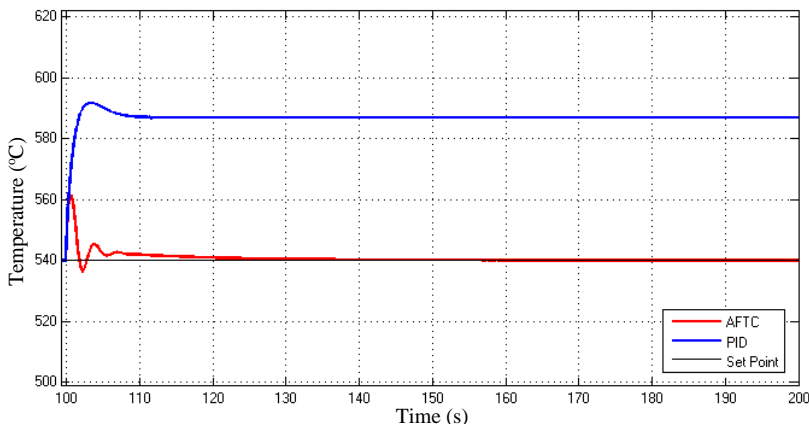
menolerir kesalahan sensor sehingga respon sistem *steady* pada temperatur  $\pm 568,4^{\circ}\text{C}$  maka didapatkan *error steady state* sebesar 5,2630%. Hasil tersebut lebih besar dari pengendali dengan algoritma AFTC yang hanya memiliki *error steady* sebesar 0,0037%. Hal ini membuktikan bahwa pengendali PID tanpa algoritma AFTC tidak mampu kembali menuju *setpoint* semula sedangkan dengan algoritma AFTC dapat meningkatkan performansi dari suatu sistem dan dapat menolerir kesalahan sensor.

#### 4.2.4 Uji Kesalahan Sensitivitas 8%

Hasil uji respon sistem terhadap kesalahan ditinjau pada kondisi saat terjadi kesalahan (*fault*) pada detik ke-100.



**Gambar 4.11** Respon Sistem Pengendalian dengan Kesalahan Sensitivitas 8%



**Gambar 4.12** Perbesaran Respon Sistem Pengendalian dengan Kesalahan Sensitivitas 8%

**Tabel 4.6** Parameter Performansi dengan Kesalahan Sensitivitas 8%

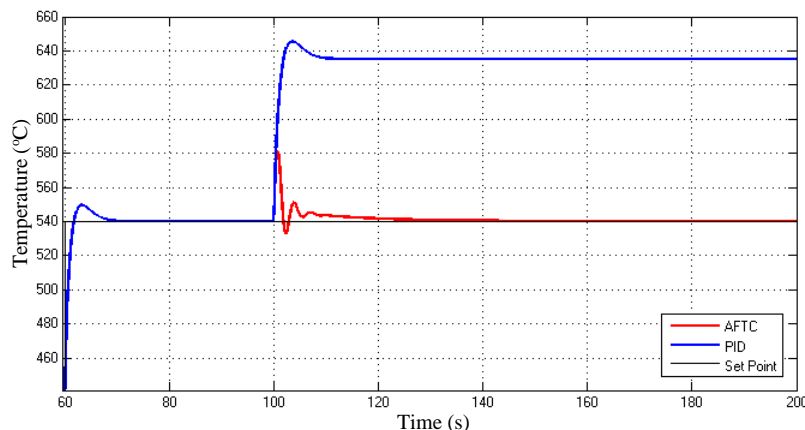
No	Parameter	AFTC	PID
1	<i>Maximum overshoot</i>	4,0583 %	9,5796 %
2	<i>Settling Time</i>	75 detik	13 detik
3	<i>Error steady state</i>	0,0019 %	8,6944 %

Pada gambar 4.11 dan 4.12 serta tabel 4.6 menunjukkan respon sistem ketika diberi kesalahan sensitivitas 8%, dimana kesalahan sensitivitas 8% berarti sensor kehilangan 8% dari sinyal *outputnya*. Dari parameter performansi diatas, *maximum overshoot* yang terjadi pada pengendali dengan algoritma AFTC jauh lebih kecil dari pengendali PID tanpa menggunakan AFTC saat dikenai kesalahan yakni sebesar 4,0583% lebih kecil dari PID biasa sebesar 9,5796%. Waktu untuk mencapai keadaan *steady (settling time)* dengan algoritma AFTC yakni sebesar 75 detik untuk mencapai temperatur yang diinginkan  $\pm 540^{\circ}\text{C}$  saat terjadi kesalahan sensitivitas 8%, dibandingkan dengan algoritma PID tanpa AFTC memiliki *settling time* yang lebih cepat, yaitu sebesar 13 detik tetapi algoritma PID

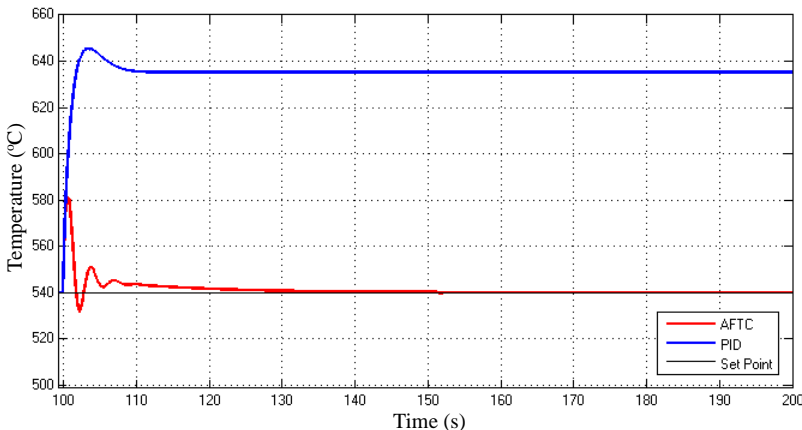
tanpa AFTC tidak dapat menolerir kesalahan sensor sehingga respon sistem *steady* pada temperatur  $\pm 586,9^{\circ}\text{C}$  maka didapatkan *error steady state* yang cukup besar yaitu sebesar 8,6944%. Hasil tersebut lebih besar dari pengendali dengan algoritma AFTC yang hanya memiliki *error steady* sebesar 0,0019%. Hal ini membuktikan bahwa pengendali PID tanpa algoritma AFTC tidak mampu kembali menuju *setpoint* semula sedangkan dengan algoritma AFTC dapat meningkatkan performansi dari suatu sistem dan dapat menolerir kesalahan sensor.

#### 4.2.5 Uji Kesalahan Sensitivitas 15%

Hasil uji respon sistem terhadap kesalahan ditinjau pada kondisi saat terjadi kesalahan (*fault*) pada detik ke-100.



**Gambar 4.13** Respon Sistem Pengendalian dengan Kesalahan Sensitivitas 15%



**Gambar 4.14** Perbesaran Respon Sistem Pengendalian dengan Kesalahan Sensitivitas 15%

**Tabel 4.7** Parameter Performansi dengan Kesalahan Sensitivitas 15%

No	Parameter	AFTC	PID
1	<i>Maximum overshoot</i>	7,8704 %	19,5333 %
2	<i>Settling Time</i>	83 detik	16 detik
3	<i>Error steady state</i>	0,0019 %	17,6463 %

Pada gambar 4.13 dan 4.14 serta tabel 4.7 menunjukkan respon sistem ketika diberi kesalahan sensitivitas 15%, dimana kesalahan sensitivitas 15% berarti sensor kehilangan 15% dari sinyal *outputnya*. Dari parameter performansi diatas, *maximum overshoot* yang terjadi pada pengendali dengan algoritma AFTC jauh lebih kecil dari pengendali PID tanpa menggunakan AFTC saat dikenai kesalahan yakni sebesar 7,8704% lebih kecil dari PID biasa sebesar 19,5333 %. Waktu untuk mencapai keadaan *steady (settling time)* dengan algoritma AFTC yakni sebesar 83 detik untuk mencapai temperatur yang diinginkan  $\pm 540^\circ\text{C}$  saat terjadi kesalahan sensitivitas 15%, dibandingkan dengan algoritma PID tanpa AFTC memiliki *settling time* yang lebih cepat, yaitu sebesar 16 detik tetapi algoritma PID

tanpa AFTC tidak dapat menolerir kesalahan sensor sehingga respon sistem *steady state* pada temperatur  $\pm 635,3^{\circ}\text{C}$  maka didapatkan *error steady state* yang cukup besar yaitu sebesar 17,6463%. Hasil tersebut lebih besar dari pengendali dengan algoritma AFTC yang hanya memiliki *error steady state* sebesar 0,0019%. Hal ini membuktikan bahwa pengendali PID tanpa algoritma AFTC tidak mampu kembali menuju *setpoint* semula sedangkan dengan algoritma AFTC dapat meningkatkan performansi dari suatu sistem dan dapat menolerir kesalahan sensor.

Dari segi parameter performansi sistem diatas saat dikenai kesalahan sensitivitas 1%, 2%, 5%, 8% dan 15%, baik *maximum overshoot*, *settling time* dan *error steady state*, sistem pengendalian dengan algoritma AFTC memiliki rata-rata *settling time* yang lebih lama dibandingkan tanpa algoritma AFTC, dikarenakan dengan algoritma AFTC respon sistem pengendalian tersebut dapat *tracking* menuju ke *setpoint* dan dapat menolerir kesalahan sensor dibandingkan dengan PID tanpa algoritma AFTC yang tidak mampu *tracking* menuju ke *setpoint* maupun mentolerir kesalahan dari sensor, dan juga dapat dilihat bahwa rata-rata nilai *maximum overshoot* maupun *error steady state* memiliki nilai yang lebih kecil dibandingkan sistem pengendali tanpa algoritma AFTC. Semakin kecil nilai parameter tersebut, maka semakin baik performa sistem tersebut dan juga sebaliknya. Hal ini dapat dikarenakan oleh adanya rekonfigurasi kontrol untuk mengatasi kesalahan yang disebabkan oleh kesalahan sensor temperatur. Maka dari itu, sistem pengendali yang menggunakan algoritma AFTC memiliki performansi yang lebih baik dibandingkan dengan sistem pengendalian tanpa menggunakan algoritma AFTC.

## **BAB V**

### **KESIMPULAN DAN SARAN**

#### **5.1 Kesimpulan**

Berdasarkan hasil analisis data yang telah dilakukan, didapatkan kesimpulan dari tugas akhir ini mengenai perancangan *Active Fault Tolerant Control* pada Sistem Pengendalian Temperatur *Superheater* PLTU PT PJB Gresik dengan Kesalahan Sensor adalah sebagai berikut:

- a. Perancangan AFTC pada sistem pengendalian temperatur *superheater* tahap pertama dilakukan perancangan *observer* dan tahap kedua adalah rekonfigurasi kontrol. Perancangan AFTC yang telah dilakukan mampu menolerir kesalahan sensor, yakni kesalahan bias  $\pm 0,32\%$  dan kesalahan sensitivitas 1%-15%, sehingga mampu menjaga kestabilan sistem.
- b. Performa sistem pengendali dengan algoritma AFTC lebih baik daripada sistem pengendali PID tanpa AFTC dalam menolerir adanya kesalahan sensor yang terjadi. Hal ini ditunjukkan dari hasil uji kesalahan sensor sebagai berikut:
  - Pada uji kesalahan bias -0,32%, sistem pengendali dengan AFTC menghasilkan *maximum overshoot* sebesar 0,1550%, *settling time* 20 detik dan *error steady state* sebesar 0,0024%, sedangkan sistem pengendali tanpa AFTC menghasilkan *maximum overshoot* sebesar 0,3481%, *settling time* sebesar 10 detik dan *error steady state* sebesar 0,3151%.
  - Pada uji kesalahan sensitivitas 8%, sistem pengendali dengan AFTC menghasilkan *maximum overshoot* sebesar 4,0583%, *settling time* 75 detik dan *error steady state* sebesar 0,0019%, sedangkan sistem pengendali tanpa AFTC menghasilkan *maximum overshoot* sebesar 9,5796%, *settling time* sebesar 13 detik dan *error steady state* sebesar 8,6944%.

## 5.2 Saran

Dalam proses tugas akhir ini terdapat beberapa saran yang dapat digunakan untuk penelitian selanjutnya adalah:

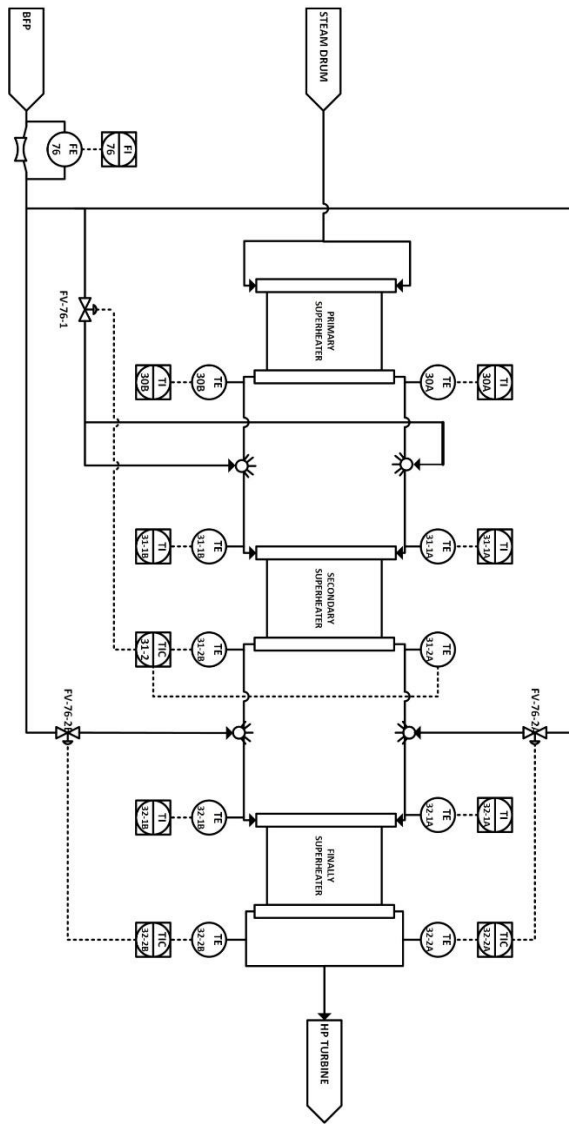
- a. Dalam skala industri, AFTC dapat digunakan sebagai suatu sistem keamanan yang juga dapat meningkatkan keandalan suatu komponen untuk meningkatkan produktivitas kinerja dari suatu sistem.
- b. Dalam penelitian selanjutnya seharusnya meninjau tidak hanya kesalahan pada sensor, melainkan kesalahan pada aktuator agar sistem pengendali AFTC tersebut mampu menolerir kesalahan baik yang terjadi pada sensor maupun pada aktuator.

## **DAFTAR PUSTAKA**

- [1] M. J. Moran and H. N. Saphiro, Fundamental of Engineering Thermodynamics, 4th ed., John Wiley & Sons, Inc, 2000.
- [2] P. K. Nag, Power Plant Engineering, New Delhi: Tata McGraw-Hill, 2008.
- [3] A. Ardhiantama, "Perancangan Active Fault Tolerant Control pada Sistem Pengendalian Temperature Fuel Gas Superheater Burner PT Petrokimia Gresik dengan Kesalahan Sensor Temperature," Teknik Fisika ITS, Surabaya, 2016.
- [4] Y. Zhang and J. Jiang, "Bibliographical Review on Reconfigurable Fault-Tolerant Control System," *Annual Review in Control*, vol. 32, no. 2, pp. 229-252, 2008.
- [5] A. Setyawan, "Perancangan Sistem Pengendalian Temperature Pada Superheater Dengan Metode Fuzzy Logic Di PLTU Unit II PT PJB Unit Pembangkitan Gresik," Teknik Fisika ITS, Surabaya, 2010.
- [6] M. K. Gupta, Power Plant Engineering, New Delhi: PHI Learning, 2012.
- [7] PT. PJB, "Boiler & Alat Bantunya," Unit Bisnis Pemeliharaan PT PJB, Jakarta, 1971.
- [8] Incropera, DeWitt, Bergman and Lavine, Fundamentals of Heat and Mass Transfer, 7th ed., John Wiley & Sons, 2011.
- [9] K. Indriawati, T. Agustinah and A. Jazidie, "Reconfigurable Fault-Tolerant Control of Linear System with Actuator and Sensor Faults," in *IEEE International Conference on Control System, Computing and Engineering*, Penang, Malaysia, 2013.
- [10] H. Noura, D. Theilliol, J. Ponsart and A. Chamseddine, Fault-tolerance Control Systems: Design and Practical Applications, London: Springer Verlag, 2009.

- [11] K. Ogata, Modern Control Engineering, 3rd ed., New Jersey: Prentice-Hall Inc, 1997.
- [12] K. Indriawati, N. Sebe, T. Agustinah and A. Jazidie, "Robust Fuzzy *Observer*-Based Fault Tolerant Tracking Control for Nonlinear System with Simultaneous Actuator and Sensor Faults: Application to a DC Series Motor Speed Drive," *International Review of Automatic Control (I.R.E.A.C.O.)*, vol. 8, no. 6, pp. 375-385, 2015.
- [13] K. Indriawati, A. Jazidie and T. Agustinah, "Reconfigurable Controller Based on Fuzzy Descriptor *Observer* for Nonlinear Systems with Sensor Faults," *Applied Mechanics and Materials*, vol. 771, pp. 59-62, 2015.
- [14] A. W. Harsono, "Perancangan Active Fault Tolerant Control (AFTC) pada Sistem Pengendalian Level Steam Drum Boiler PLTU Paiton dengan Kesalahan Sensor," Teknik Fisika ITS, Surabaya, 2017.
- [15] A. Musyafa', "Sistem Pengukuran dan Kalibrasi: Kesalahan Pengukuran," Teknik Fisika ITS, Surabaya, 2012.

**LAMPIRAN A**  
**P&ID SUPERHEATER PT PJB PAITON UNIT 4**



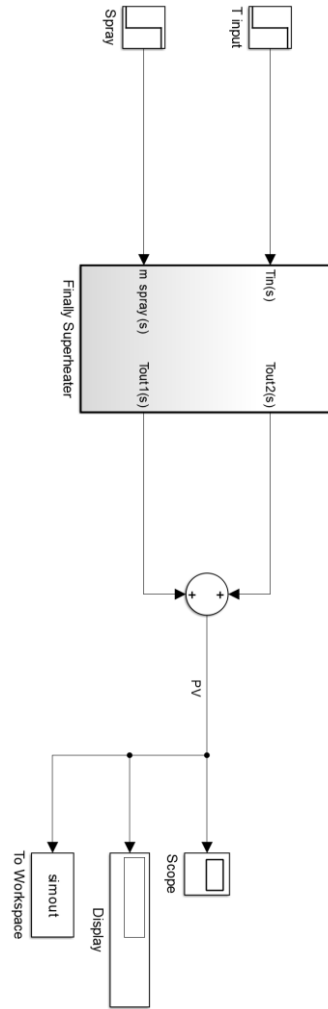
*Halaman ini sengaja dikosongkan*

**LAMPIRAN B**  
**DATA PENGUKURAN SENSOR TE-32-2**

Tanggal	Jam	Temperatur Output (°C)	Set Point (°C)	Control Valve (%)	Laju Spray (kg/s)
12/3/2018	0:00	540.2766	540	66.53%	7.3934
12/3/2018	1:00	539.6840	540	63.23%	6.9971
12/3/2018	2:00	540.9509	540	65.88%	7.3160
12/3/2018	3:00	540.8890	540	66.05%	7.3359
12/3/2018	4:00	540.3916	540	68.59%	7.6401
12/3/2018	5:00	541.0903	540	71.05%	7.9350
12/3/2018	6:00	540.3806	540	64.39%	7.1372
12/3/2018	7:00	540.2766	540	66.53%	7.3934
12/3/2018	8:00	540.2567	540	64.04%	7.0943
12/3/2018	9:00	540.9310	540	65.96%	7.3254
12/3/2018	10:00	540.3607	540	68.30%	7.6056
12/3/2018	11:00	541.0041	540	68.39%	7.6161
12/3/2018	12:00	539.7482	540	65.65%	7.2878
12/3/2018	13:00	540.9932	540	68.19%	7.5921
12/3/2018	14:00	540.5508	540	65.45%	7.2638
12/3/2018	15:00	541.1147	540	67.59%	7.5200
12/3/2018	16:00	539.8057	540	63.11%	6.9836
12/3/2018	17:00	540.5309	540	65.77%	7.3025
12/3/2018	18:00	541.1633	540	68.51%	7.6307
12/3/2018	19:00	541.1323	540	68.22%	7.5962
12/3/2018	20:00	540.4866	540	68.34%	7.6109
12/3/2018	21:00	541.0926	540	68.79%	7.6642
12/3/2018	22:00	539.4982	540	53.33%	5.8103
12/3/2018	23:00	540.6525	540	58.38%	6.4157
13/3/2018	0:00	540.5928	540	56.53%	6.1941
13/3/2018	1:00	540.1661	540	56.29%	6.1659
13/3/2018	2:00	540.7056	540	56.54%	6.1951

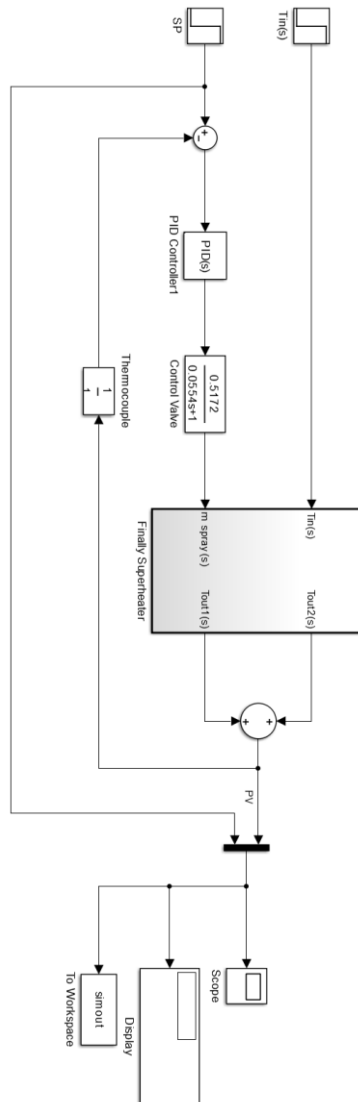
<b>Tanggal</b>	<b>Jam</b>	<b>Temperatur Output (°C)</b>	<b>Set Point (°C)</b>	<b>Control Valve (%)</b>	<b>Laju Spray (kg/s)</b>
13/3/2018	3:00	548.2649	540	82.22%	9.2755
13/3/2018	4:00	540.3983	540	68.22%	7.5962
13/3/2018	5:00	540.4579	540	67.95%	7.5639
13/3/2018	6:00	541.0505	540	67.94%	7.5628
13/3/2018	7:00	539.8588	540	65.66%	7.2889
13/3/2018	8:00	541.0640	540	66.07%	7.3381
13/3/2018	9:00	539.8168	540	61.59%	6.8006
13/3/2018	10:00	539.7350	540	63.97%	7.0860
13/3/2018	11:00	541.6851	540	73.91%	8.2790
13/3/2018	12:00	540.5421	540	66.70%	7.4133
13/3/2018	13:00	540.4579	540	66.63%	7.4049
13/3/2018	14:00	540.3697	540	68.24%	7.5984
13/3/2018	15:00	540.9135	540	67.91%	7.5586
13/3/2018	16:00	540.2280	540	65.82%	7.3077
13/3/2018	17:00	540.3408	540	66.17%	7.3505
13/3/2018	18:00	540.4094	540	66.42%	7.3798
13/3/2018	19:00	541.0727	540	67.99%	7.5680
13/3/2018	20:00	541.0727	540	65.21%	7.2345
13/3/2018	21:00	540.4004	540	65.45%	7.2638
13/3/2018	22:00	540.4071	540	68.18%	7.5910
13/3/2018	23:00	540.2479	540	66.09%	7.3411

**LAMPIRAN C**  
**SIMULINK MATLAB R2014a SKEMA OPEN LOOP**



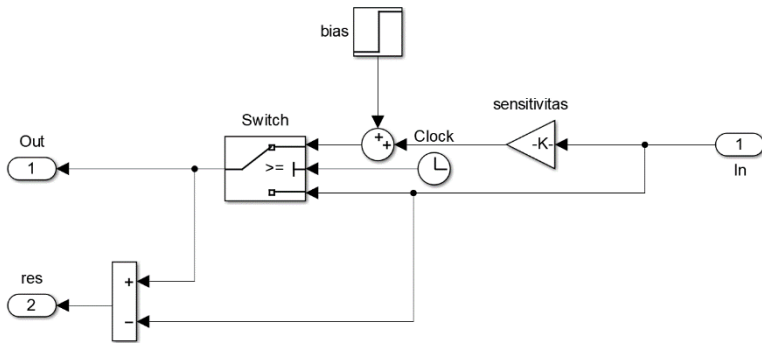
*Halaman ini sengaja dikosongkan*

**LAMPIRAN D**  
**SIMULINK MATLAB R2014a SKEMA CLOSE LOOP**

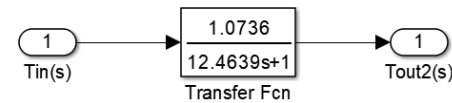


*Halaman ini sengaja dikosongkan*

**LAMPIRAN E**  
**SIMULINK MATLAB R2014a SKEMA FAULT SENSOR &**  
**VARIABEL FINALLY SUPERHEATER**



Gambar diatas merupakan skema perancangan *fault* sensor saat diberi kesalahan bias atau sensitivas.



Gambar diatas merupakan fungsi transfer dari *finally superheater* yang terdiri dari dua *variable input* yaitu *Tin(s)* *temperature steam input* dan *ms(s)* *laju aliran water spray*.

*Halaman ini sengaja dikosongkan*

## LAMPIRAN F

### LISTING PROGRAM MATLAB R2014a m.file

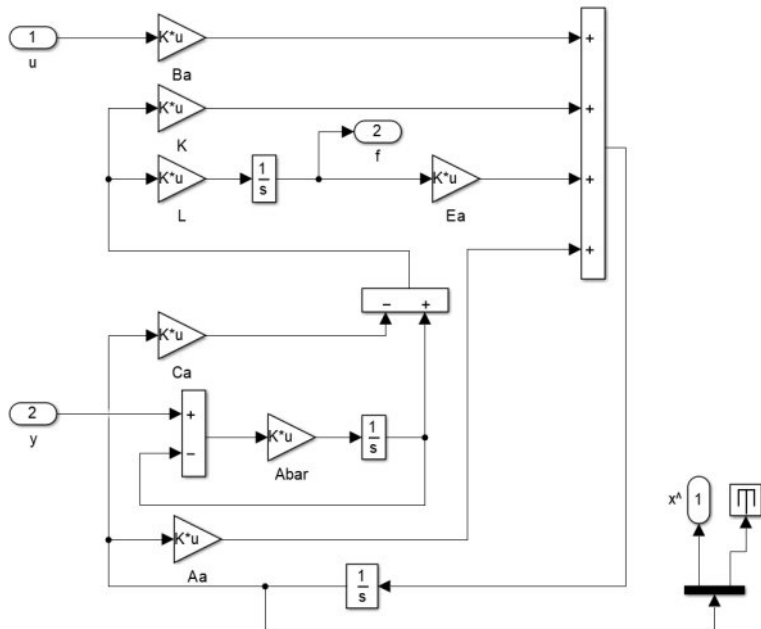
```
A=[-0.0802 0.4948;0 -18.0505]; %Matriks A
B=[0.0861 0; 0 9.3357];%Matriks B
C=[1 0;0 1];%Matriks C
n = length(A)
p = size(C,1)
m = size(B,2)
Fs=[1;0];
fs = size(Fs,2);
Abar = 1*eye(p);
Aa = [A zeros(n,p); Abar*C -Abar]
Ba = [B;zeros(p,m) ]
Ea = [zeros(n,fs); Abar*Fs]
Ca = [zeros(p,n) eye(p) ]
Atild = [Aa Ea; zeros(fs,n+p) zeros(fs) ];
Ctild = [Ca zeros(p,fs) ];
rank(Atild);
obs= rank(obsv(Atild,Ctild));

%mendapatkan gain observer dari nilai 'pole'
p1 = -17.1562 + 0.0000i;
p2 = -0.6413 + 1.7785i;
p3 = -0.6413 - 1.7785i;
p4 = -0.0728 + 0.0000i;
p5 = -0.9847 + 0.0000i;

Ktild = place(Atild',Ctild',[p1 p2 p3 p4 p5]);
K = Ktild(:,1:n+p)
L = Ktild(:,n+p+1:n+p+fs)
```

*Halaman ini sengaja dikosongkan*

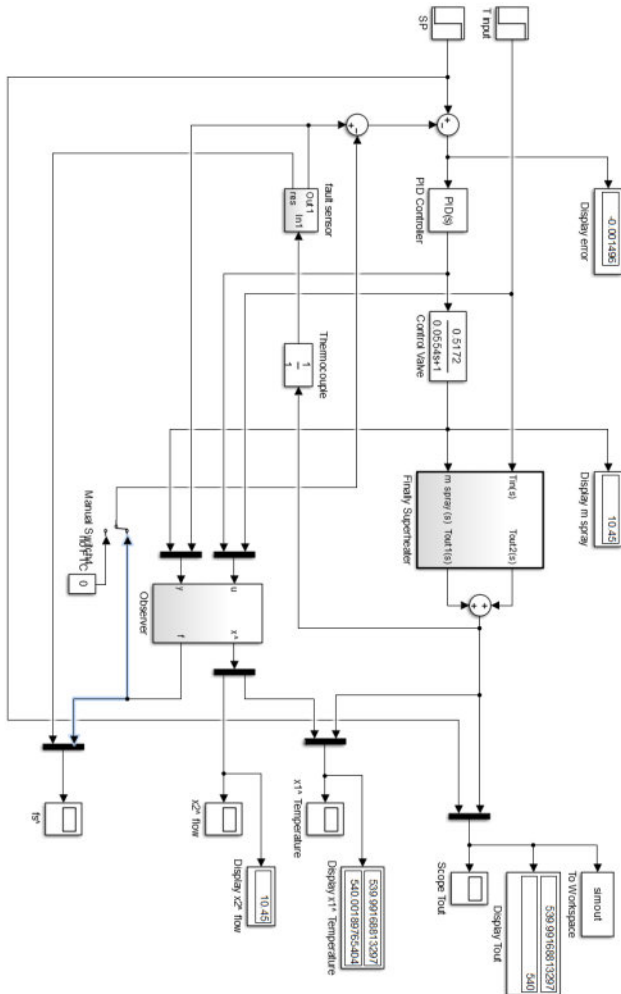
**LAMPIRAN G**  
SIMULINK MATLAB R2014a SKEMA *OBSERVER*



Gambar diatas merupakan skema perancangan *observer* yang berdasarkan persamaan (2.18)

*Halaman ini sengaja dikosongkan*

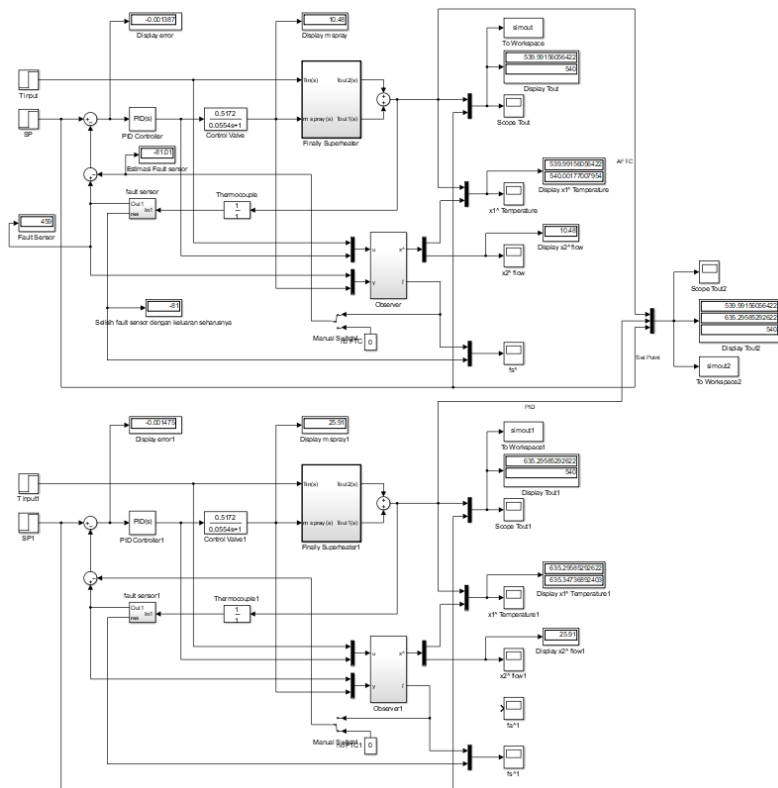
**LAMPIRAN H**  
**SIMULINK MATLAB R2014a SKEMA REKONFIGURASI**  
**KONTROL**



*Halaman ini sengaja dikosongkan*

# LAMPIRAN I

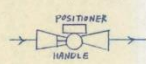
## SIMULINK MATLAB R2014a SKEMA PERANCANGAN AFTC DAN PID



*Halaman ini sengaja dikosongkan*

# LAMPIRAN J

## DATA SHEET FCV-76-2

Fisher Controls      Control Valve Specification		(25/ )		
<b>FISHER</b>				
<b>Item</b> Quantity <input checked="" type="checkbox"/> 5 Application A/B - SH SECONDARY SPRAY FLOW CONTROL VALVE Tag FV-76-2A . 2B Serial No. 356191x194 Size and Type 2" 657 - DBQ <b>Style</b> <input type="checkbox"/> SWE <input checked="" type="checkbox"/> Angle <input type="checkbox"/> Globe <input checked="" type="checkbox"/> <b>Body</b> <b>Material</b> <input checked="" type="checkbox"/> C-5 <input type="checkbox"/> WCB Steel <input type="checkbox"/> Iron <b>Number of Ports</b> <input type="checkbox"/> Two <input checked="" type="checkbox"/> One <input checked="" type="checkbox"/> <b>Push Down to</b> <input type="checkbox"/> Open <input checked="" type="checkbox"/> Close <input checked="" type="checkbox"/> <b>Flow Direction</b> <input checked="" type="checkbox"/> Up <input type="checkbox"/> Down <b>Trim</b> <b>Cage &amp;/or</b> <input checked="" type="checkbox"/> 410 SST Cr. Pl. <input checked="" type="checkbox"/> Std <input checked="" type="checkbox"/> <b>Building Material</b> <input type="checkbox"/> <b>Seat Ring Material</b> <input type="checkbox"/> 440C SST <input checked="" type="checkbox"/> Std <input checked="" type="checkbox"/> <b>Material</b> <input type="checkbox"/> 440C SST <input checked="" type="checkbox"/> Std <input checked="" type="checkbox"/> <b>Valve Plug</b> <b>Guiding</b> <input type="checkbox"/> Post <input checked="" type="checkbox"/> Top & Bottom <input type="checkbox"/> Port <input type="checkbox"/> <b>Balance</b> <input checked="" type="checkbox"/> Unbalanced <input type="checkbox"/> Balanced <input type="checkbox"/> <b>Port Size</b> <input checked="" type="checkbox"/> 3/4" <input type="checkbox"/> Full <input type="checkbox"/> <b>Plug or Cage</b> <input type="checkbox"/> Linear <input type="checkbox"/> (Equal Percent) <input checked="" type="checkbox"/> O.O. <input checked="" type="checkbox"/> <input type="checkbox"/> Whisper <input type="checkbox"/> M-FORM <input checked="" type="checkbox"/> <b>Stem</b> <input type="checkbox"/> 3/4" <input checked="" type="checkbox"/> Std <input checked="" type="checkbox"/> <b>Shutoff Class</b> <input type="checkbox"/> ANSI CLASS 4 <input checked="" type="checkbox"/> Std <input checked="" type="checkbox"/> <b>Style</b> <input type="checkbox"/> Ext. # <input checked="" type="checkbox"/> Std <input checked="" type="checkbox"/> <b>Boss Size</b> <input type="checkbox"/> 3 1/2" <input checked="" type="checkbox"/> Std <input checked="" type="checkbox"/> <b>Bonnet</b> <b>Packing</b> <input type="checkbox"/> Lam Graphite <input type="checkbox"/> Lubr. & Iso. Valve <input type="checkbox"/> TFE Ad. <input checked="" type="checkbox"/> <input type="checkbox"/> <input type="checkbox"/> <b>Bolting</b> <input type="checkbox"/> Bonnet <input type="checkbox"/> Std <input checked="" type="checkbox"/> <input type="checkbox"/> Pack. Fig. <input type="checkbox"/> Std <input checked="" type="checkbox"/> <b>Valve Travel</b> 19mm <b>Notes and/or Special Constructions</b> #1. LOCK VALVE SET PRESS. : 20 kg/cm <sup>2</sup> #2. COLOUR : NF STD BODY : SILVER ACTUATOR : MUNSELL 10GY 4/6 #3. TWO BFPs operating condition #4. ONE BFP operating condition #5. 	<b>Actuator</b> <b>Style</b> <input type="checkbox"/> Diaph. <input checked="" type="checkbox"/> Piston <b>Size</b> 667 (701) <b>Actuator Spring No.</b> 14127P <b>Base Set</b> 1/4" x 2" K <b>Air to Actuator</b> <input type="checkbox"/> 0.2-0 <input type="checkbox"/> 0.4-2.0 <input type="checkbox"/> <b>Air Fail Valve to</b> Lock <input checked="" type="checkbox"/> Open <input type="checkbox"/> (Close) <input type="checkbox"/> <b>Handwheel</b> <input type="checkbox"/> Top <input type="checkbox"/> Side <input type="checkbox"/> <b>Type</b> 3570 <input type="checkbox"/> 3582 <input type="checkbox"/> 3572 <input type="checkbox"/> <b>Input Signal</b> <input type="checkbox"/> 4-20mA <input checked="" type="checkbox"/> 10-50mA <input type="checkbox"/> 0.2-10 <input type="checkbox"/> 0.4-20 <b>Output Signal</b> <input type="checkbox"/> 0.2-10 <input type="checkbox"/> 0.4-20 <input type="checkbox"/> <b>Supply Pressure</b> 2-4 <input type="checkbox"/> <b>Accessories</b> Bypass <input type="checkbox"/> Gauges <input type="checkbox"/> Airset <input checked="" type="checkbox"/> TAFC <input type="checkbox"/> <b>Increase Signal Valve</b> <input checked="" type="checkbox"/> Opens <input type="checkbox"/> Closes <input type="checkbox"/> <b>1. BOOSTER</b> IL100 7/4AAR 7/4GAUGE <input type="checkbox"/> <b>2. LIMIT SWITCH</b> (FG) SPDT <input type="checkbox"/> BAFI - 2RN - RIF-T (0.5A - 25VDC) <input type="checkbox"/> <b>3. REDUCERS</b> (2" BWE x 3" BWE) <input type="checkbox"/> ASTM A82 FIR <input type="checkbox"/> <b>Accessories</b>	<b>Customer:</b> PT. GRESIK POWER PLANT "3" + <b>Reference:</b> GRESIK POWER PLANT "3" <b>Order No.:</b> <b>Quote No.:</b> <b>Date Entered:</b> 14/8/76 <b>Page:</b> 1 of 1		
		<b>Design conditions</b> Temp: 203 °C Press: 299 kg/cm <sup>2</sup> <b>Service Conditions</b> <b>Throttling</b> <input checked="" type="checkbox"/> <b>On-Off</b> <input type="checkbox"/> <b>PRV</b> <input type="checkbox"/> <b>Relief</b> <input type="checkbox"/> <b>Flowing Media</b> <b>FEED WATER</b> <b>Specific Gravity</b> Minimum 1.000 <input type="checkbox"/> Normal 1.000 <input type="checkbox"/> Maximum 1.040 <input type="checkbox"/> <input type="checkbox"/> 0.992 <input type="checkbox"/> 1.000 <input type="checkbox"/> 1.028 <input type="checkbox"/> 0.981 <input type="checkbox"/> <b>Intlet Temperature</b> °C 176.5 <input type="checkbox"/> 180.4 <input type="checkbox"/> 180 <input type="checkbox"/> <b>Intlet Pressure</b> kg/cm <sup>2</sup> 216.8 <input type="checkbox"/> 249.3 <input type="checkbox"/> 219.9 <input type="checkbox"/> 227.4 <input type="checkbox"/> <b>Intlet-Vapor Pressure</b> kg/cm <sup>2</sup> 177.6 <input type="checkbox"/> 172.1 <input type="checkbox"/> 182.2 <input type="checkbox"/> <b>ΔP Sizing</b> <b>Actual ΔP</b> kg/cm <sup>2</sup> 29.2 <input type="checkbox"/> 77.2 <input type="checkbox"/> 46.3 <input type="checkbox"/> 45.2 <input type="checkbox"/> <input checked="" type="checkbox"/> ΔP Shutoff kg/cm <sup>2</sup> <input type="checkbox"/> 299 <input type="checkbox"/> <b>Flow Rate</b> Give Units kg/h 22.0 <input type="checkbox"/> 5900 <input type="checkbox"/> 32000 <input type="checkbox"/> <b>Req'd Flow Coeff.</b> C <sub>v</sub> C <sub>v</sub> C <sub>v</sub> C <sub>v</sub> <input type="checkbox"/> 0.43 <input type="checkbox"/> 0.94 <input type="checkbox"/> 1.21 <input type="checkbox"/> 5.87 <input type="checkbox"/> <b>Valve Coefficient</b> C <sub>v</sub> 11.8 <input type="checkbox"/> <b>Recovery Coeff. K<sub>r</sub></b> C <sub>r</sub> 0.85 <input type="checkbox"/> <b>Noise Level(dBA)</b> <b>Line Size(in)/Pipe Schedule</b> 3" sch XXS, STPT-42 <input type="checkbox"/> <b>VALVE OPENING %</b> 10 <input type="checkbox"/> 22 <input type="checkbox"/> 33 <input type="checkbox"/> 74 <input type="checkbox"/> <b>F<sub>PV</sub></b> kg/cm <sup>2</sup> 8.48 <input type="checkbox"/> 4.47 <input type="checkbox"/> 9.06 <input type="checkbox"/> <b>RECORDS</b>		
		<b>Form S-107</b> <b>Nippon Fisher Co.,Ltd.</b> <b>BC 856</b> 59.3 100 x 50.11"		

*Halaman ini sengaja dikosongkan*

# LAMPIRAN K

## DATA SHEET THERMOCOUPLE TYPE E

### MAXIMUM TEMPERATURE RANGE

Thermocouple Grade

- 328 to 1652°F

- 200 to 900°C

Electron Grade

- 62 to 323°F

0 to 200°C

### LIMITS OF ERROR

(whichever is greater)

Standard: ± 0.7°C or 0.5% Above 0°C

Electron: ± 0.5°C or 0.3% Below 0°C

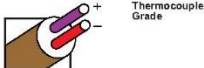
Special: ± 0.1°C or 0.4%

### COMMENTS, BARE WIRE ENVIRONMENT:

Oxidizing or Inert; Limited Use in Vacuum or Reducing; Highest EMF Change per Degree

TEMPERATURE IN DEGREES °C

REFERENCE JUNCTION AT 0°C



Nickel-Chromium  
vs.  
Copper-Nickel

Extension  
Grade

### Revised Thermocouple Reference Tables

**TYPE**  
Reference  
Tables  
N.I.S.T.  
Monograph 175  
Revised to  
ITS-90



	°C	-10	-9	-8	-7	-6	-5	-4	-3	-2	-1	0	1	2	3	4	5	6	7	8	9	10	11
190	8.825	8.779	8.774	8.774	8.722	8.625	8.921	8.917	8.813	8.803	8.802	8.797	8.769	8.763	8.756	8.749	8.742	8.735	8.728	8.721	8.714	8.707	8.699
191	8.625	8.579	8.574	8.574	8.488	8.407	8.464	8.623	8.613	8.503	8.503	8.498	8.493	8.488	8.482	8.477	8.471	8.465	8.459	8.453	8.447	8.441	8.435
192	8.425	8.379	8.374	8.374	8.293	8.212	8.269	8.426	8.416	8.306	8.306	8.299	8.293	8.288	8.282	8.276	8.271	8.265	8.259	8.253	8.247	8.241	8.235
193	8.225	8.179	8.174	8.174	8.093	8.012	8.069	8.221	8.211	8.101	8.101	8.094	8.088	8.083	8.077	8.071	8.065	8.059	8.053	8.047	8.041	8.035	8.029
194	8.025	7.979	7.974	7.974	7.893	7.812	7.869	8.021	8.011	7.901	7.901	7.894	7.888	7.883	7.877	7.871	7.865	7.859	7.853	7.847	7.841	7.835	7.829
195	7.825	7.779	7.774	7.774	7.693	7.612	7.669	7.821	7.811	7.701	7.701	7.694	7.688	7.683	7.677	7.671	7.665	7.659	7.653	7.647	7.641	7.635	7.629
196	7.625	7.579	7.574	7.574	7.493	7.412	7.469	7.621	7.611	7.501	7.501	7.494	7.488	7.483	7.477	7.471	7.465	7.459	7.453	7.447	7.441	7.435	7.429
197	7.425	7.379	7.374	7.374	7.293	7.212	7.269	7.421	7.411	7.301	7.301	7.294	7.288	7.283	7.277	7.271	7.265	7.259	7.253	7.247	7.241	7.235	7.229
198	7.225	7.179	7.174	7.174	7.093	7.012	7.069	7.221	7.211	7.101	7.101	7.094	7.088	7.083	7.077	7.071	7.065	7.059	7.053	7.047	7.041	7.035	7.029
199	7.025	6.979	6.974	6.974	6.893	6.812	6.869	7.021	7.011	6.901	6.901	6.894	6.888	6.883	6.877	6.871	6.865	6.859	6.853	6.847	6.841	6.835	6.829
200	6.825	6.779	6.774	6.774	6.693	6.612	6.669	6.821	6.811	6.701	6.701	6.694	6.688	6.683	6.677	6.671	6.665	6.659	6.653	6.647	6.641	6.635	6.629
201	6.625	6.579	6.574	6.574	6.493	6.412	6.469	6.621	6.611	6.501	6.501	6.494	6.488	6.483	6.477	6.471	6.465	6.459	6.453	6.447	6.441	6.435	6.429
202	6.425	6.379	6.374	6.374	6.293	6.212	6.269	6.421	6.411	6.301	6.301	6.294	6.288	6.283	6.277	6.271	6.265	6.259	6.253	6.247	6.241	6.235	6.229
203	6.225	6.179	6.174	6.174	6.093	6.012	6.069	6.221	6.211	6.101	6.101	6.094	6.088	6.083	6.077	6.071	6.065	6.059	6.053	6.047	6.041	6.035	6.029
204	6.025	5.979	5.974	5.974	5.893	5.812	5.869	6.021	6.011	5.901	5.901	5.894	5.888	5.883	5.877	5.871	5.865	5.859	5.853	5.847	5.841	5.835	5.829
205	5.825	5.779	5.774	5.774	5.693	5.612	5.669	5.821	5.811	5.701	5.701	5.694	5.688	5.683	5.677	5.671	5.665	5.659	5.653	5.647	5.641	5.635	5.629
206	5.625	5.579	5.574	5.574	5.493	5.412	5.469	5.621	5.611	5.501	5.501	5.494	5.488	5.483	5.477	5.471	5.465	5.459	5.453	5.447	5.441	5.435	5.429
207	5.425	5.379	5.374	5.374	5.293	5.212	5.269	5.421	5.411	5.301	5.301	5.294	5.288	5.283	5.277	5.271	5.265	5.259	5.253	5.247	5.241	5.235	5.229
208	5.225	5.179	5.174	5.174	5.093	5.012	5.069	5.221	5.211	5.101	5.101	5.094	5.088	5.083	5.077	5.071	5.065	5.059	5.053	5.047	5.041	5.035	5.029
209	5.025	4.979	4.974	4.974	4.893	4.812	4.869	5.021	5.011	4.901	4.901	4.894	4.888	4.883	4.877	4.871	4.865	4.859	4.853	4.847	4.841	4.835	4.829
210	4.825	4.779	4.774	4.774	4.693	4.612	4.669	4.821	4.811	4.701	4.701	4.694	4.688	4.683	4.677	4.671	4.665	4.659	4.653	4.647	4.641	4.635	4.629
211	4.625	4.579	4.574	4.574	4.493	4.412	4.469	4.621	4.611	4.501	4.501	4.494	4.488	4.483	4.477	4.471	4.465	4.459	4.453	4.447	4.441	4.435	4.429
212	4.425	4.379	4.374	4.374	4.293	4.212	4.269	4.421	4.411	4.301	4.301	4.294	4.288	4.283	4.277	4.271	4.265	4.259	4.253	4.247	4.241	4.235	4.229
213	4.225	4.179	4.174	4.174	4.093	4.012	4.069	4.221	4.211	4.101	4.101	4.094	4.088	4.083	4.077	4.071	4.065	4.059	4.053	4.047	4.041	4.035	4.029
214	4.025	3.979	3.974	3.974	3.893	3.812	3.869	4.021	4.011	3.901	3.901	3.894	3.888	3.883	3.877	3.871	3.865	3.859	3.853	3.847	3.841	3.835	3.829
215	3.825	3.779	3.774	3.774	3.693	3.612	3.669	3.821	3.811	3.701	3.701	3.694	3.688	3.683	3.677	3.671	3.665	3.659	3.653	3.647	3.641	3.635	3.629
216	3.625	3.579	3.574	3.574	3.493	3.412	3.469	3.621	3.611	3.501	3.501	3.494	3.488	3.483	3.477	3.471	3.465	3.459	3.453	3.447	3.441	3.435	3.429
217	3.425	3.379	3.374	3.374	3.293	3.212	3.269	3.421	3.411	3.301	3.301	3.294	3.288	3.283	3.277	3.271	3.265	3.259	3.253	3.247	3.241	3.235	3.229
218	3.225	3.179	3.174	3.174	3.093	3.012	3.069	3.221	3.211	3.101	3.101	3.094	3.088	3.083	3.077	3.071	3.065	3.059	3.053	3.047	3.041	3.035	3.029
219	3.025	2.979	2.974	2.974	2.893	2.812	2.869	3.021	3.011	2.901	2.901	2.894	2.888	2.883	2.877	2.871	2.865	2.859	2.853	2.847	2.841	2.835	2.829
220	2.825	2.779	2.774	2.774	2.693	2.612	2.669	2.821	2.811	2.701	2.701	2.694	2.688	2.683	2.677	2.671	2.665	2.659	2.653	2.647	2.641	2.635	2.629
221	2.625	2.579	2.574	2.574	2.493	2.412	2.469	2.621	2.611	2.501	2.501	2.494	2.488	2.483	2.477	2.471	2.465	2.459	2.453	2.447	2.441	2.435	2.429
222	2.425	2.379	2.374	2.374	2.293	2.212	2.269	2.421	2.411	2.301	2.301	2.294	2.288	2.283	2.277	2.271	2.265	2.259	2.253	2.247	2.241	2.235	2.229
223	2.225	2.179	2.174	2.174	2.093	2.012	2.069	2.221	2.211	2.101	2.101	2.094	2.088	2.083	2.077	2.071	2.065	2.059	2.053	2.047	2.041	2.035	2.029
224	2.025	1.979	1.974	1.974	1.893	1.812	1.869	2.021	2.011	1.901	1.901	1.894	1.888	1.883	1.877	1.871	1.865	1.859	1.853	1.847	1.841	1.835	1.829
225	1.825	1.779	1.774	1.774	1.693	1.612	1.669	1.821	1.811	1.701	1.701	1.694	1.688	1.683	1.677	1.671	1.665	1.659	1.653	1.647	1.641	1.635	1.629
226	1.625	1.579	1.574	1.574	1.493	1.412	1.469	1.621	1.611	1.501	1.501	1.494	1.488	1.483	1.477	1.471	1.465	1.459	1.453	1.447	1.441	1.435	1.429
227	1.425	1.379	1.374	1.374	1.293	1.212	1.269	1.421	1.411	1.301	1.301	1.294	1.288	1.283	1.277	1.271	1.265	1.259	1.253	1.247	1.241	1.235	1.229
228	1.225	1.179	1.174	1.174	1.093	1.012	1.069	1.221	1.211	1.101	1.101	1.094	1.088	1.083	1.077	1.071	1.065	1.059	1.053	1.047	1.041	1.035	1.029
229	1.025	0.979	0.974	0.974	0.893	0.812	0.869	1.021	1.011	0.901	0.901	0.894	0.888	0.883	0.877	0.871	0.865	0.859	0.853	0.847	0.841	0.835	0.829
230	0.825	0.779	0.774	0.774	0.693	0.612	0.669	0.821	0.811	0.701	0.701	0.694	0.688	0.683	0.677	0.671	0.665	0.659	0.653	0.647	0.641	0.635	0.629
231	0.625	0.579	0.574	0.574	0.493	0.412	0.469	0.621	0.611	0.501	0.501	0.494	0.488	0.483	0.477	0.471	0.465	0.459	0.453	0.447	0.441	0.435	0.429
232	0.425	0.379	0.374	0.374	0.293	0.212	0.269	0.421	0.411	0.301	0.301	0.294	0.288	0.283	0.277	0.271	0.265	0.259	0.253	0.247	0.241	0.235	0.229
233	0.225	0.179	0.174	0.174	0.093	0.012	0.069	0.221	0.211	0.101	0.101	0.094	0.088	0.083	0.077	0.071	0.065	0.059	0.053	0.047	0.041	0.035	0.029
234	0.025	0.079	0.074	0.074	0.093	0.012	0.069	0.221	0.211	0.101	0.101												

*Halaman ini sengaja dikosongkan*

## LAMPIRAN L

### CALIBRATION REPORT TE-32-2



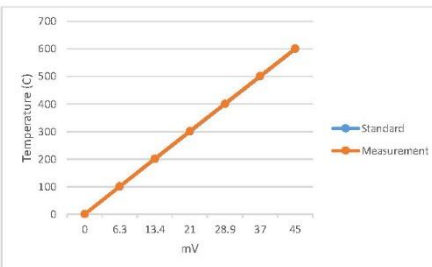
#### CALIBRATION REPORT

<b>INSTRUMENT</b>	Thermocouple	<b>CAL. RANGE</b>	0 – 45 mV
<b>TAG. No.</b>	TE-32-2A/B	<b>OUT. RANGE</b>	0 – 600 °C
<b>EQUIPMENT No.</b>	TE-32-2A/B	<b>P&amp;ID No.</b>	
<b>MODEL/TYPE</b>	Z-206 / Type E	<b>PROCESS</b>	Finally Superheater
<b>SERIAL No.</b>		<b>POWER SUPPLY</b>	
<b>MANUFACTURE</b>	OMEGA	<b>AIR SUPPLY</b>	
<b>STROKE</b>		<b>ROOM TEMP.</b>	± 23.1°C
<b>TOLERANCE</b>	1.7°C or 0.32% (accuracy 99.68%)	<b>INS. STD.</b>	Huke 724 Temperature Calibrator
		<b>CALIBRATOR</b>	

Calibration Data:

No.	Standard A (°C)	Calibration Date: 14-04-2017 (Revised)					
		Before		After		Tolerance (±) (°C)	Note
		Measurement B (°C)	Deviation D = A - B (°C)	Measurement B (°C)	Deviation D = A - B (°C)		
1	100	102.5	+2.5	100.5	+0.5	1.7	✓
2	200	202.7	+2.7	200.8	+0.8	1.7	✓
3	300	302.4	+2.4	300.6	+0.6	1.7	✓
4	400	402.9	+2.9	400.6	+0.6	1.7	✓
5	500	503.1	+3.1	500.9	+0.9	1.7	✓
6	600	602.9	+2.9	600.8	+0.8	1.7	✓

Calibration Curve:



Calibrated by:

T.515071

Approved by:

T.294538

*Halaman ini sengaja dikosongkan*

## BIODATA PENULIS



Achmad Rizky Karuniawan merupakan nama lengkap penulis dengan nama panggilannya, Rizky. Penulis dilahirkan di Gresik pada tanggal 15 Desember 1994 sebagai anak kedua dari dua bersaudara dari ayahanda Achmad Indra Subchan dan ibunda Hari Murtiningsih. Riwayat pendidikan penulis adalah SD Negeri Pongangan 2 Manyar-Gresik pada tahun (2001–2007), SMP Negeri 1 Gresik pada tahun (2007–2010), SMA Negeri 1 Gresik pada tahun (2010–2013). Penulis diterima sebagai mahasiswa S1 Teknik Fisika ITS pada tahun 2014. Semasa perkuliahan, Penulis aktif organisasi kemahasiswaan di Laboratorium Rekayasa Instrumentasi dan Kontrol Teknik Fisika ITS, penulis fokus pada bidang minat rekayasa instrumentasi dan kontrol untuk menyelesaikan tugas akhirnya. Penulis dapat dihubungi melalui *email*: rizkykaruniawan@gmail.com.

